

Ich brauche eine Übersicht!

Neues zu Medikamenten der MS

**Prof. Dr. Philipp Albrecht**

Leitung MS Zentrum  
Klinik für Neurologie  
Heinrich Heine Universität  
Düsseldorf

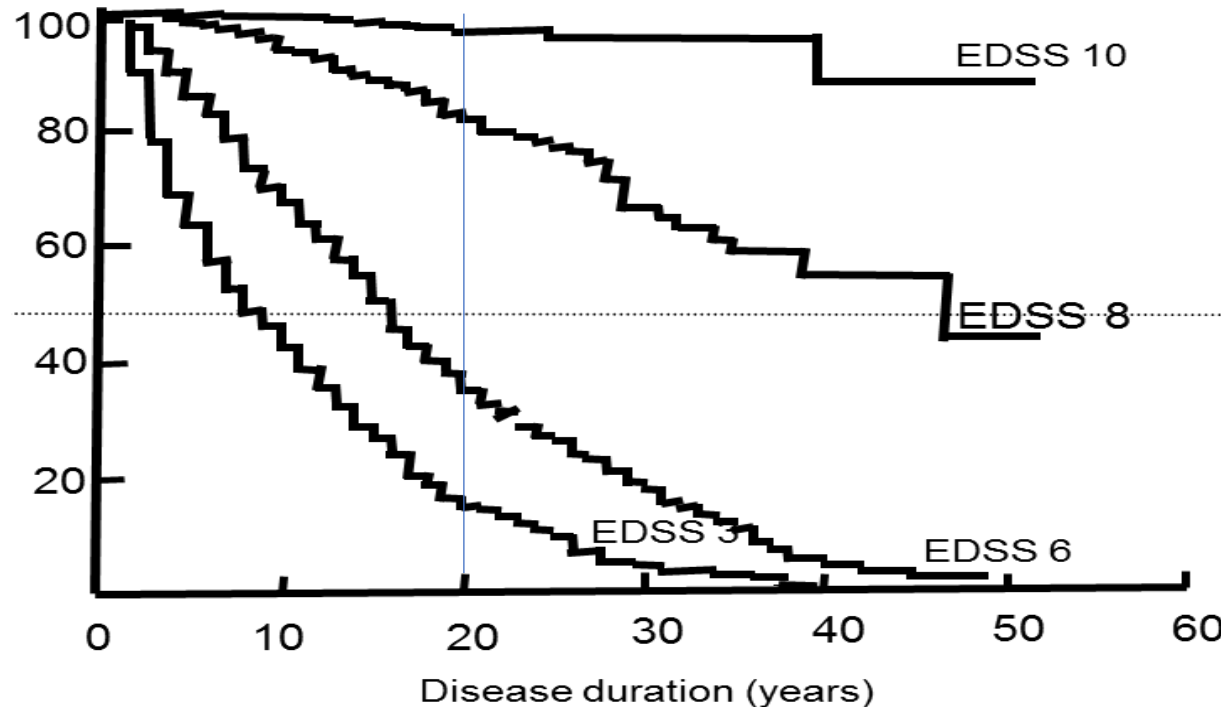


# Interessenskonflikte

- Honorare für Referenten- und Berater-Tätigkeit von Biogen, Celgene, Novartis, TEVA, Allergan, IPSEN, Merz.
- Unterstützung für Kongress-Reisen von Biogen, Celgene, Novartis, TEVA, Allergan, IPSEN, Merz, Esai, GSK.
- Förderung wissenschaftlicher Projekte von Allergan, Biogen, Celgene, Ipsen, Merz, Merck, Novartis, TEVA, Roche.

# Langzeitprognose MS ohne prophylaktische Behandlung

% of patients



## Ohne Behandlung ...

- Erreichen 50%...
  - .... innerhalb von **2-3 Jahren** eine klinisch relevante **Behinderungsprogression**<sup>2</sup>
  - .... innerhalb von **10 Jahren** eine **SPMS**<sup>2</sup>
  - .... innerhalb von **15 Jahren** eine **Gehbehinderung**<sup>2</sup>
  - .... innerhalb von **25 Jahren** eine Abhangigkeit auf einen **Rollstuhl**<sup>2</sup>

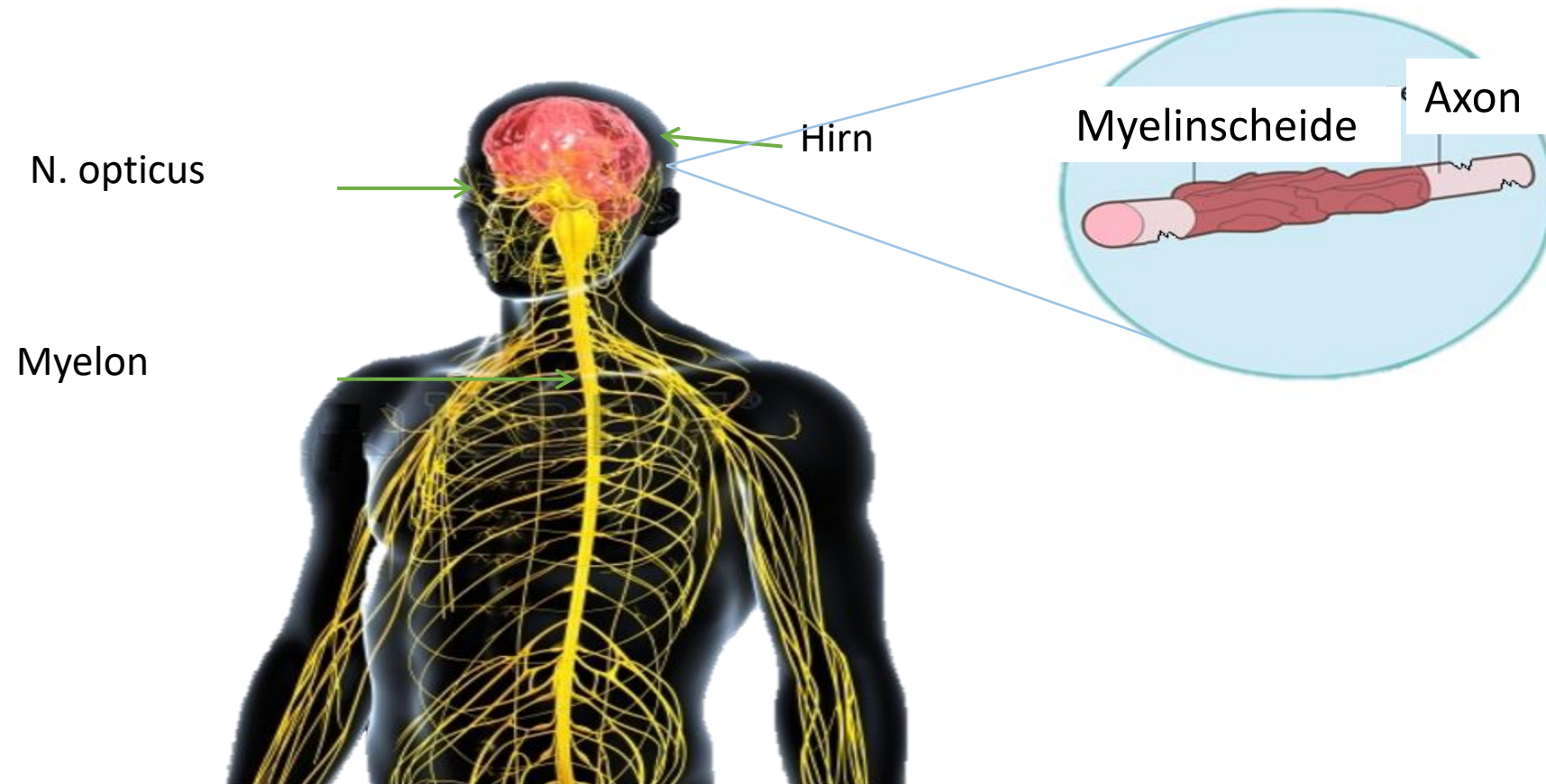
1. Entnommen aus The natural history of multiple sclerosis: a geographically based study

Ziel der MS-Therapie: Verbessern der naturlichen Prognose

# 2021... and more to come



# Das zentrale Nervensystem

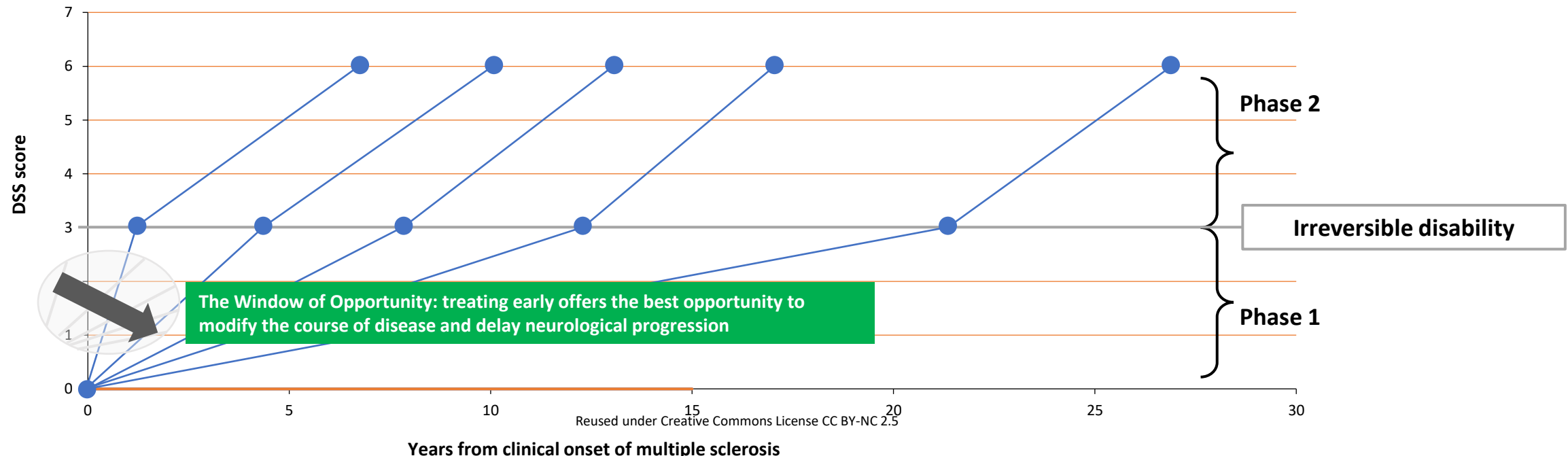


# Early Treatment:

## A Window of Opportunity to Modify Disease Progression



- The Rennes EDMUS database comprises 2054 patients with clinically definite MS
- Disability progression of MS reflects a two-phase process:
  - Phase 1:** highly variable rates of disease progression, which may be dependent on levels of inflammation
  - Phase 2:** disability accumulation that is constant and may be independent of inflammation



n=718 MS patients divided into five subgroups according to the duration of phase 1

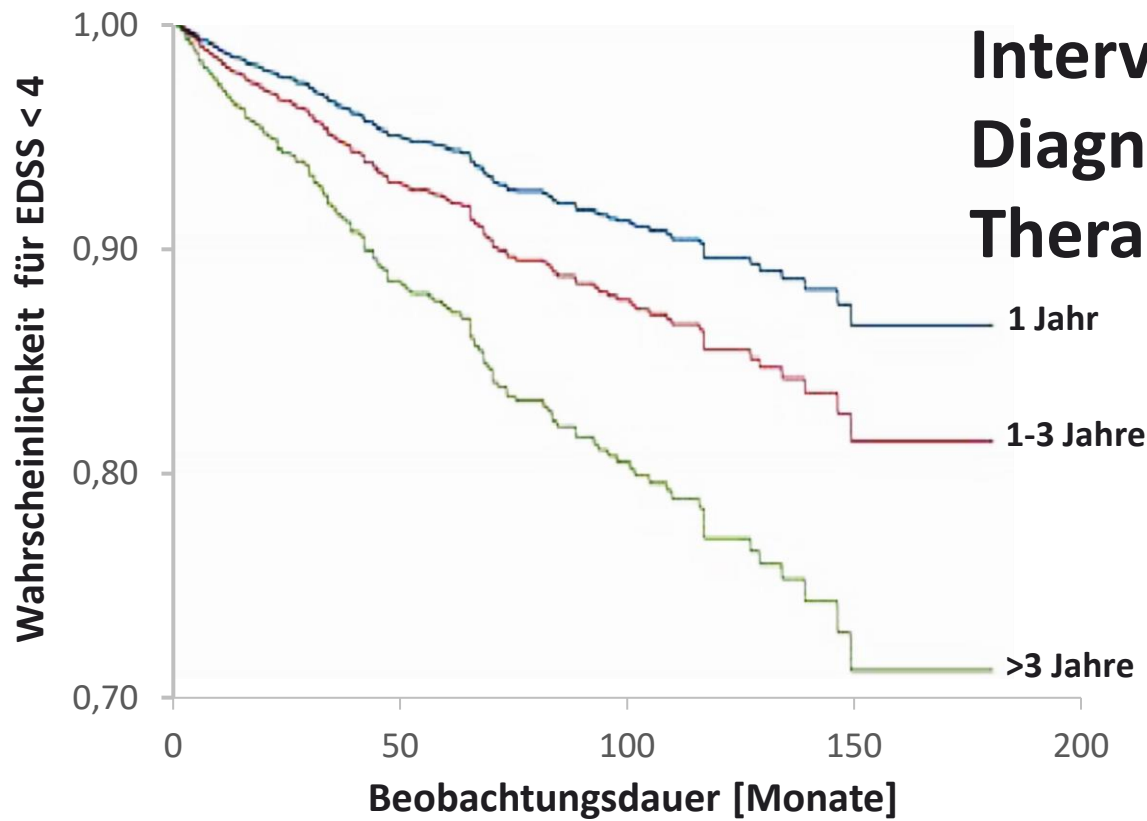
DSS = Disability Status Scale; EDMUS = European Database for Multiple Sclerosis

Leray E, et al. *Brain* 2010; 133(Pt 7):1900–13.

# Bessere Verläufe: Verzögerung der Progression durch früheren Therapiebeginn



Daten des Karolinska Hospitals Stockholm



Intervall  
Diagnose/  
Therapiestart

1 Jahr

1-3 Jahre

>3 Jahre

Das Risiko für Erreichen eines EDSS = 4 steigt bei späterem Therapiebeginn signifikant an.

HR = 1,79 (95%CI: 1,27-2,53)  
für > 3 Jahre vs. ≤1 Jahr

p = 0,001

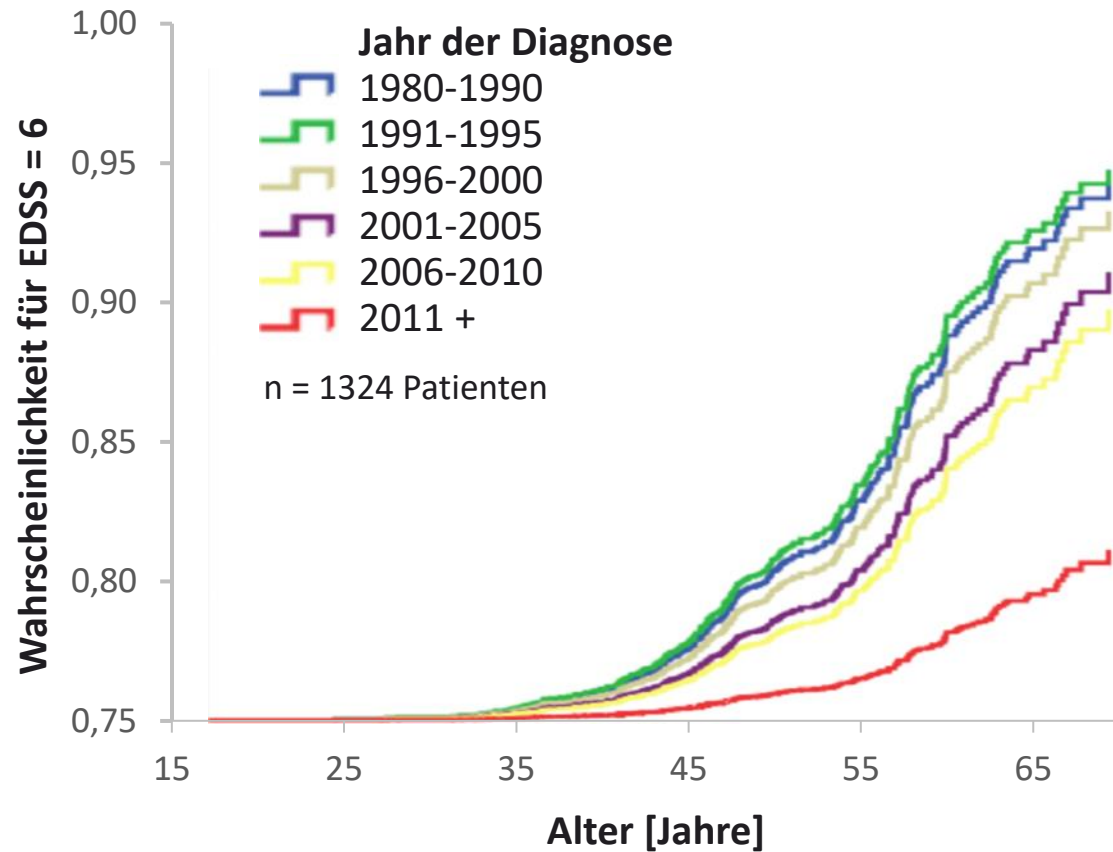
Ein möglichst früher Therapiebeginn verlängert signifikant das Intervall bis zum Erreichen eines irreversiblen EDSS-Wertes von 4.

CI = Konfidenzintervall; EDSS = Expanded Disability Status Scale; HR = Hazard Ratio.

Kavaliunas A et al. ECTRIMS 2016; Poster P1222.

Hutchinson M. ECTRIMS 2016; Plenary Session 2 (Clinical Highlights); Präsentation 258.

# Bessere Verläufe: Verzögerung der Progression durch zunehmend wirksamere Therapien



Daten aus MS-Zentren in Brescia und Bologna

Das Alter beim Erreichen eines EDSS = 6 nimmt zu.  
HR = 0,56 \*  
p = 0,02

\* adjustiert für mittleres Alter bei Diagnose in jeder Periode und für die Länge der Intervalle zwischen den EDSS-Visiten.

Zunehmend wirksamere Therapien erhöhen (vor allem seit dem Jahr 2000) signifikant das Alter bei Erreichen eines EDSS-Wertes von 6.

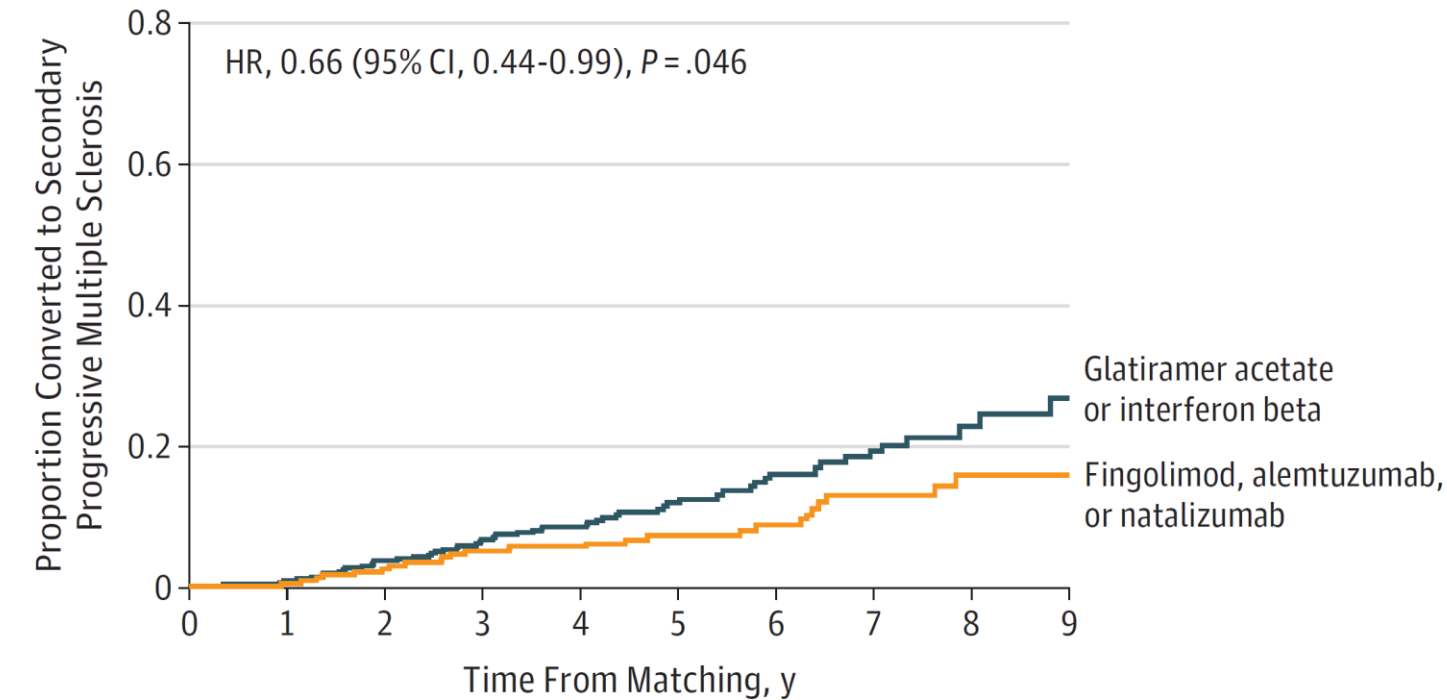
EDSS = Expanded Disability Status Scale; HR = Hazard Ratio.

Cordioli C et al. ECTRIMS 2016; Poster P299.

Hutchinson M. ECTRIMS 2016; Plenary Session 2 (Clinical Highlights); Präsentation 258.

# Association of Initial Disease-Modifying Therapy With Later Conversion to Secondary Progressive Multiple Sclerosis

J. William L. Brown, MRCP; Alasdair Coles, PhD; Dana Horakova, PhD; Eva Havrdova, PhD; Guillermo Izquierdo, MD; Alexandre Prat, PhD; Marc Girard, MD; Pierre Duquette, MD; Maria Trojano, MD; Alessandra Lugaresi, PhD; Roberto Bergamaschi, MD; Pierre Grammond, MD; Raed Alroughani, MD; Raymond Hupperts, PhD; Pamela McCombe, MBBS; Vincent Van Pesch, MD; Patrizia Sola, PhD; Diana Ferraro, MD; Francois Grand'Maison, MD; Murat Terzi, MD; Jeannette Lechner-Scott, PhD; Schlomo Flechter, MD; Mark Slee, PhD; Vahid Shaygannejad, MD; Eugenio Pucci, MD; Franco Granella, MD; Vilija Jokubaitis, PhD; Mark Willis, MRCP; Claire Rice, FRCP; Neil Scolding, PhD; Alastair Wilkins, PhD; Owen R Pearson, MD; Tjalf Ziemssen, MD; Michael Hutchinson, MD; Katharine Harding, PhD; Joanne Jones, PhD; Christopher McGuigan, MD; Helmut Butzkueven, PhD; Tomas Kalincik, PhD; Neil Robertson, MD



No. with follow-up data										
Initial treatment	380	380	380	380	380	252	182	142	93	44
Glatiramer acetate or interferon beta										
Fingolimod, alemtuzumab, or natalizumab	235	235	235	235	235	148	103	80	54	30

# Diagnose und Therapie der Multiplen Sklerose, Neuromyelitis-optica-Spektrum-Erkrankungen und MOG-IgG-assozierten Erkrankungen

Entwicklungsstufe: S2k

Federführend: Prof. Dr. Bernhard Hemmer, München

Herausgegeben von der Kommission Leitlinien der Deutschen Gesellschaft für Neurologie

**H. Wiendl<sup>1</sup>, R. Gold<sup>2</sup>, T. Berger<sup>3</sup>, T. Derfuss<sup>4</sup>, R. Linker<sup>5</sup>, M. Mäurer<sup>6</sup>, M. Stangel<sup>7</sup>, F. Zipp<sup>8</sup>, Multiple Sklerose Therapie Konsensus Gruppe (MSTKG)**

<sup>1</sup> Klinik für Neurologie mit Institut für Translationale Neurologie, Universitätsklinikum Münster, Münster, Deutschland

<sup>2</sup> Neurologie, St. Josef-Hospital, Klinikum der Ruhr-Universität Bochum, Bochum, Deutschland

<sup>3</sup> Universitätsklinik für Neurologie, Medizinische Universität Wien, Wien, Österreich

<sup>4</sup> Neurologische Klinik und Poliklinik, Universitätsspital Basel, Basel, Schweiz

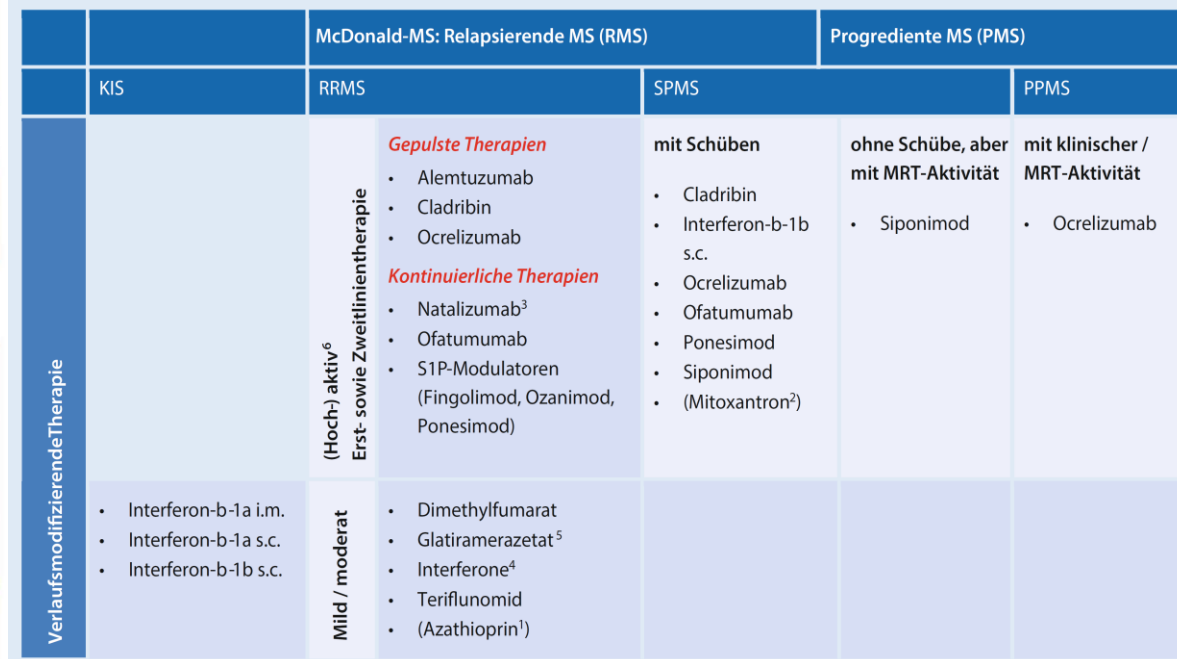
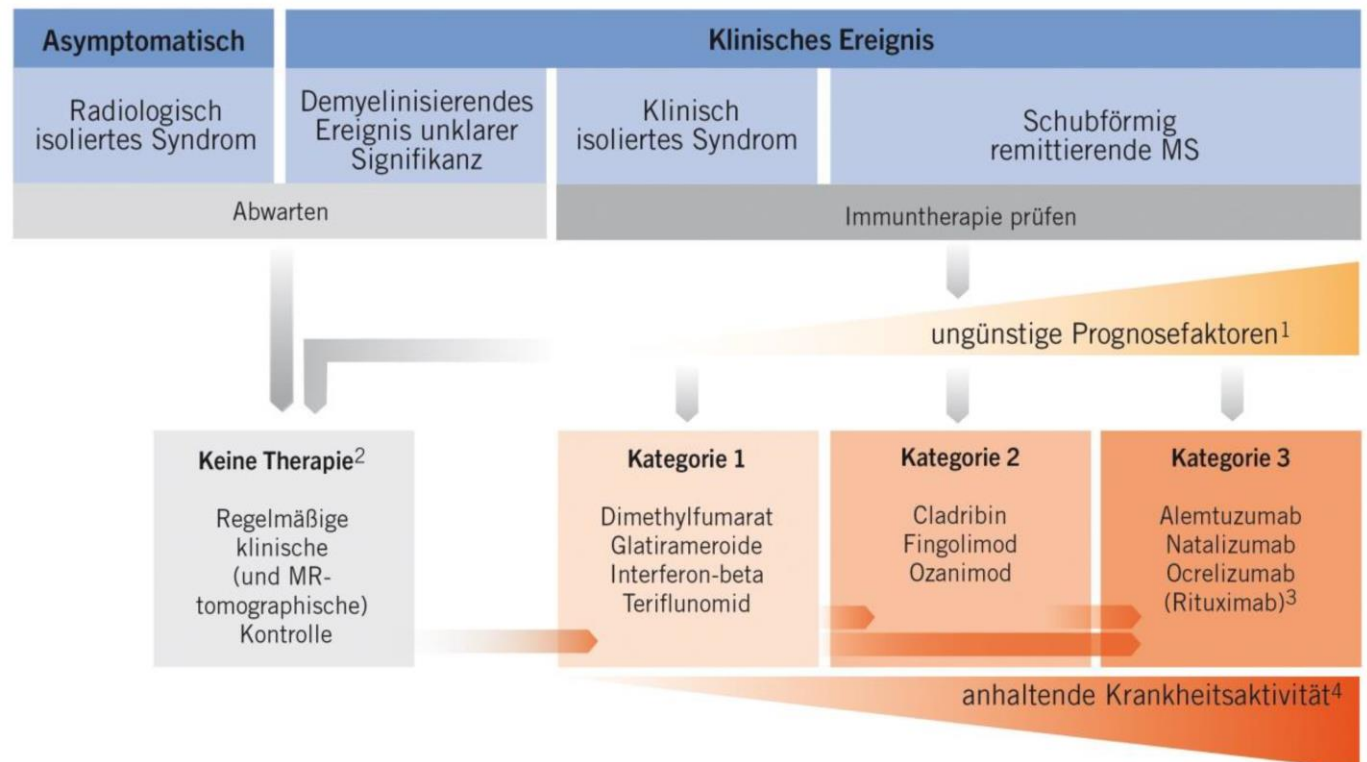
<sup>5</sup> Klinik und Poliklinik für Neurologie, Universitätsklinikum Regensburg, Regensburg, Deutschland

<sup>6</sup> Neurologie und Neurologische Frührehabilitation, Klinikum Würzburg Mitte gGmbH, Standort Juliuspital, Würzburg, Deutschland

<sup>7</sup> Klinische Neuroimmunologie und Neurochemie, Klinik für Neurologie, Medizinische Hochschule Hannover, Hannover, Deutschland

<sup>8</sup> Klinik für Neurologie, Universitätsmedizin der Johannes Gutenberg-Universität Mainz, Mainz, Deutschland

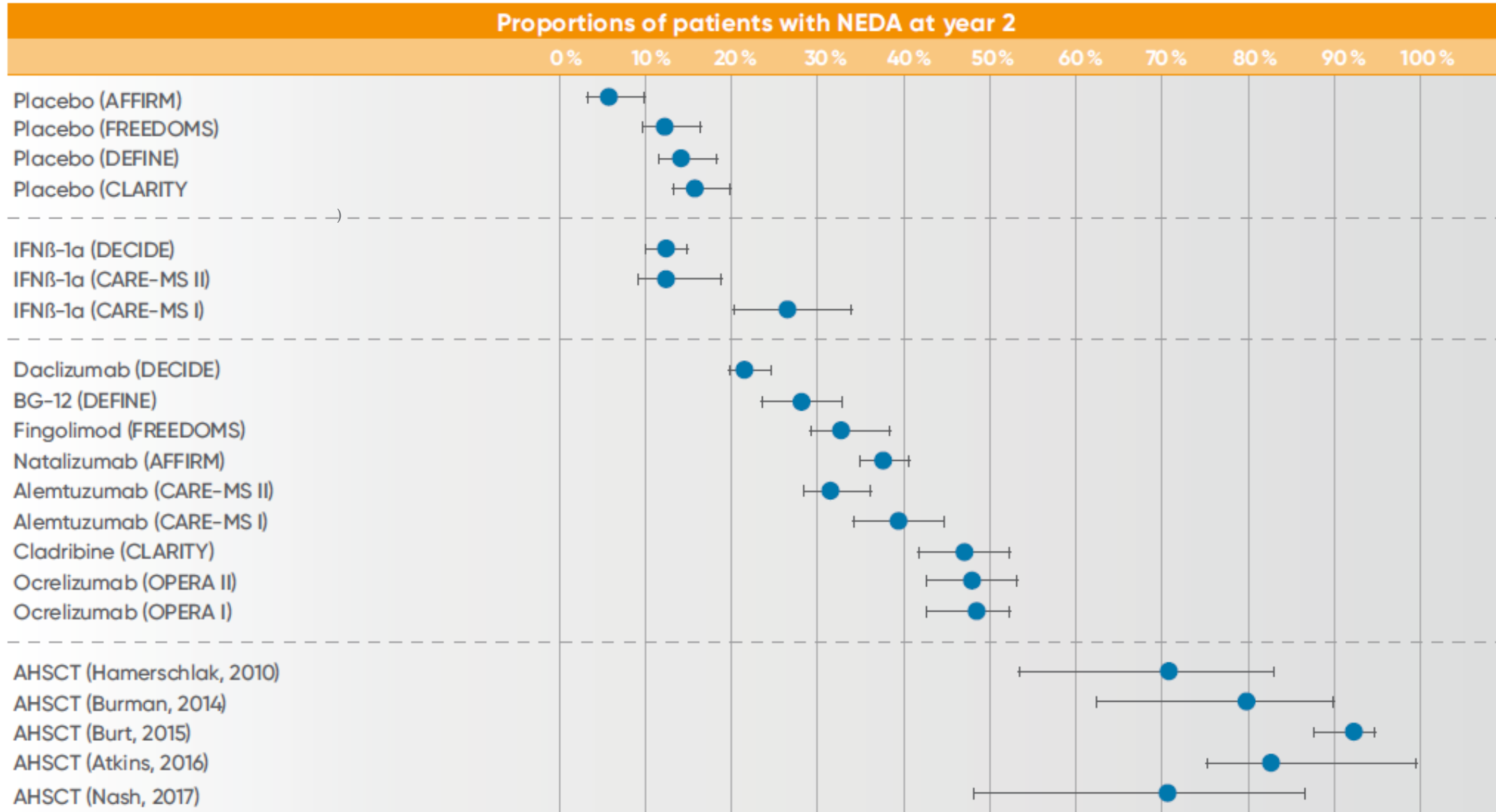
## Kommentar der Multiple Sklerose Therapie Konsensus Gruppe (MSTKG) zur S2k-Leitlinie Multiple Sklerose



1. Wilson SL et al. *Int J MS Care* 2015;17:74–82; 2. Kruk EM et al. *Clin Ther* 2006;28:1989–95.

3. Shingler SL et al. *J Med Econ* 2013;16:1036-42; 4. Riñon A et al. *Patient Prefer Adherence*

# NEDA (No Evidence of Disease Activity) at year 2 across medications



Proportion of patients for whom NEDA was achieved at 2 years with disease-modifying therapies and AHSCT. Blue dots are the mean, bars represent 95 % confidence intervals.

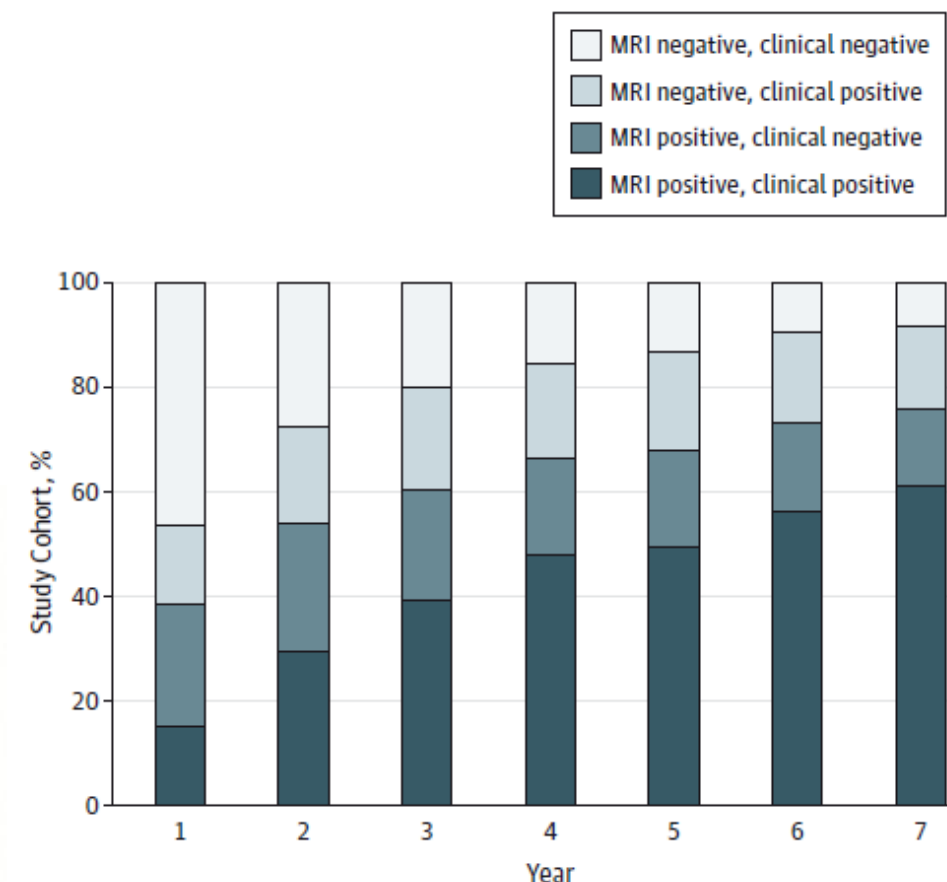
Adaptiert nach Muraro P et al. Nature Reviews Neurology; Autologous haematopoietic stem cell transplantation for treatment of multiple sclerosis \* Indirekter Vergleich.

## Original Investigation

# Evaluation of No Evidence of Disease Activity in a 7-Year Longitudinal Multiple Sclerosis Cohort

Dalia L. Rotstein, MD; Brian C. Healy, PhD; Muhammad T. Malik, MD; Tanuja Chitnis, MD; Howard L. Weiner, MD

- N=2200 RRMS, >7y follow up @ Brigham and Women's hospital
- NEDA @ 2 y had 78.3% positive predictive value for no EDSS progression @ 7 years.
- NEDA is difficult to sustain long term even with treatment



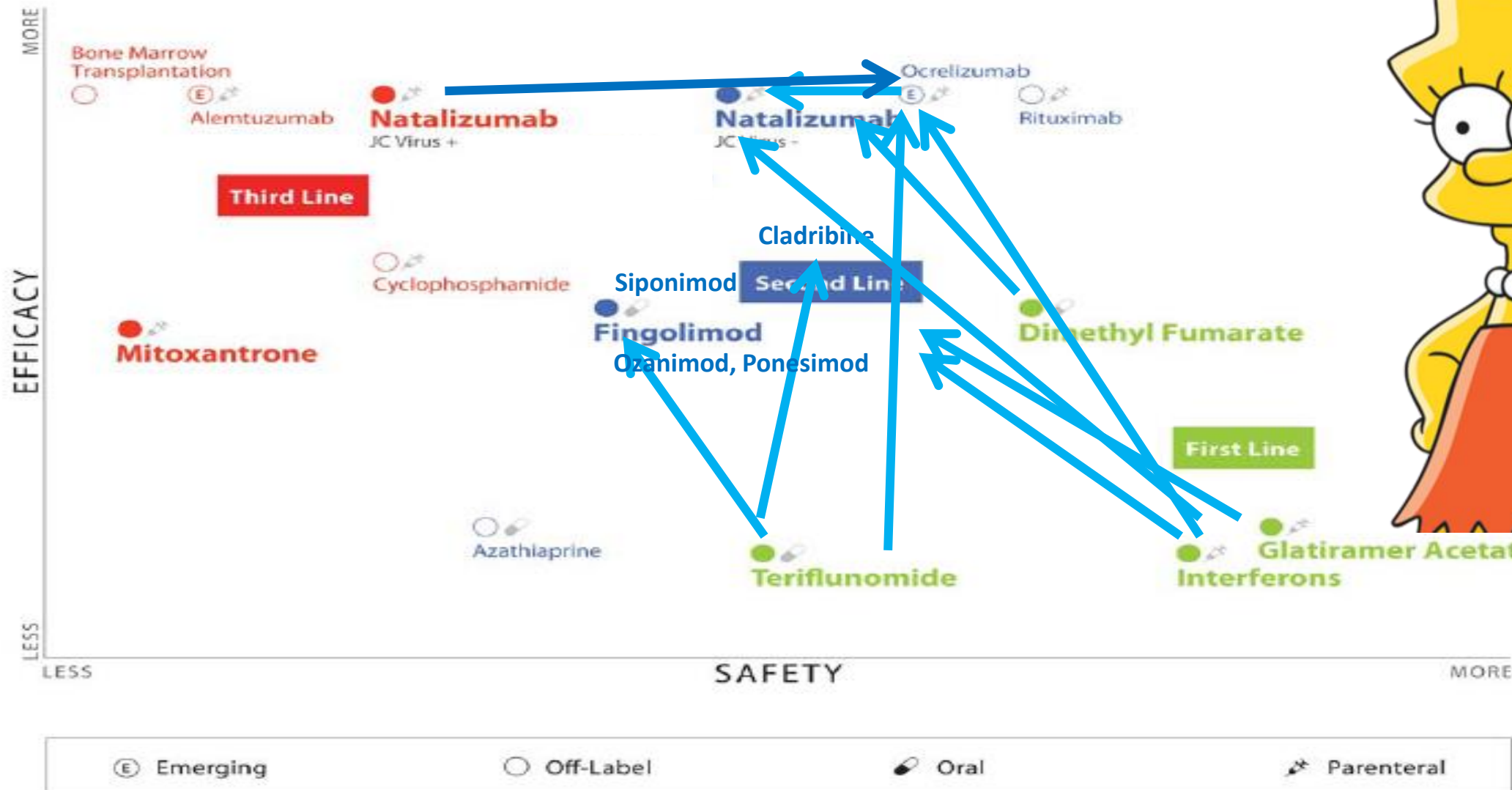
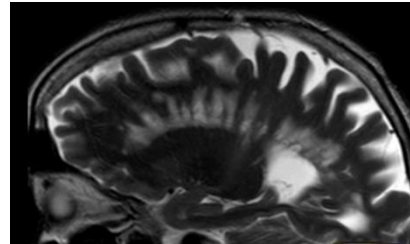
# Risiko-Nutzen Abwägung



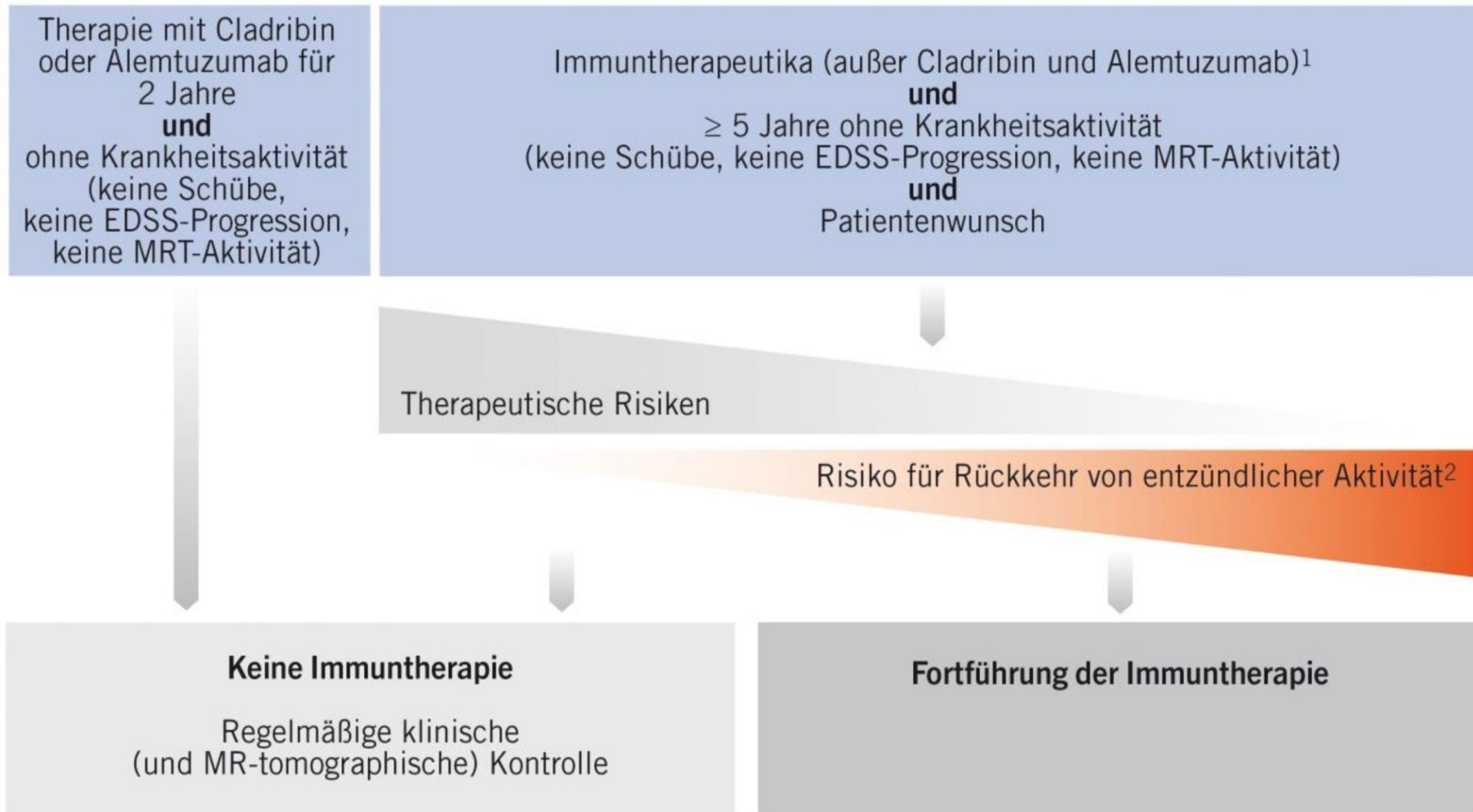
# Nebenwirkungen -> Lateral Switch



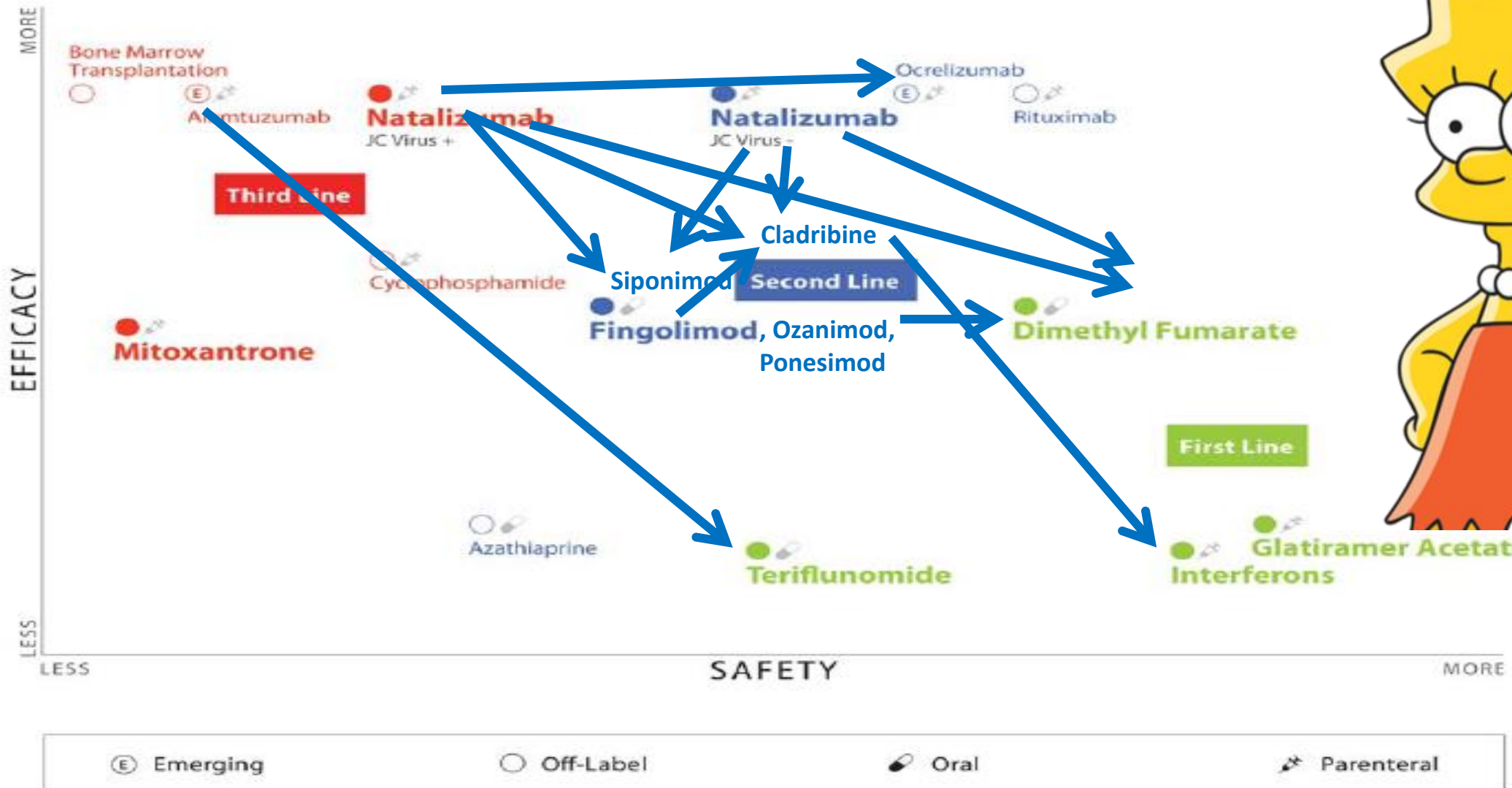
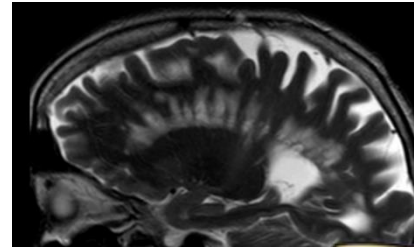
# Optimierung: Eskalation



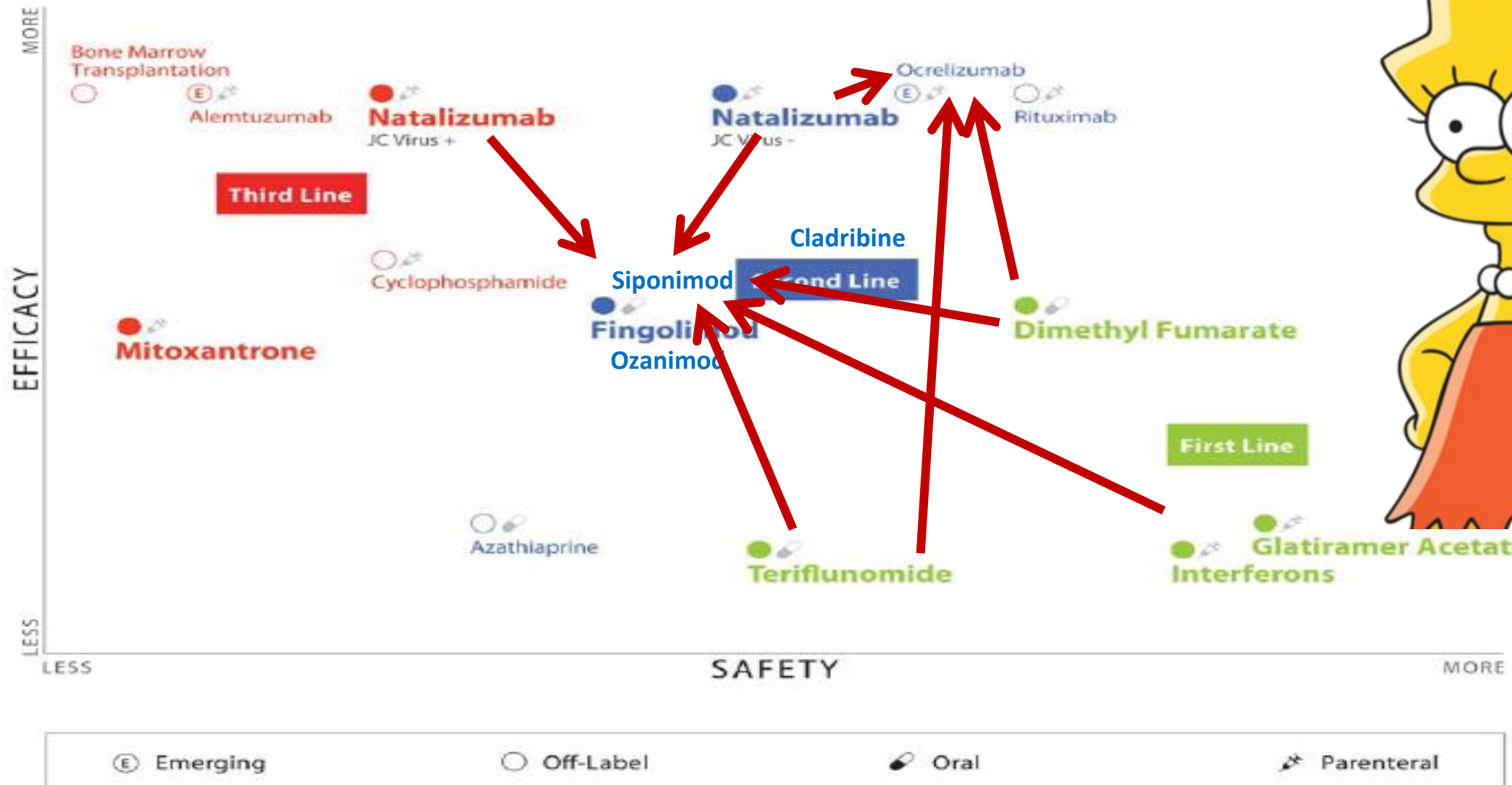
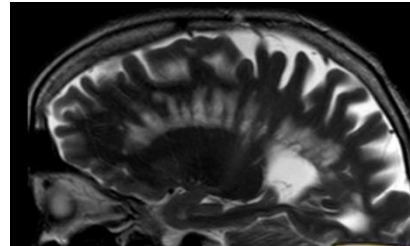
# Algorithmus Therapie-Absetzen, DGN Leitlinie



# Optimierung: Deeskalation



# SPMS Konversion



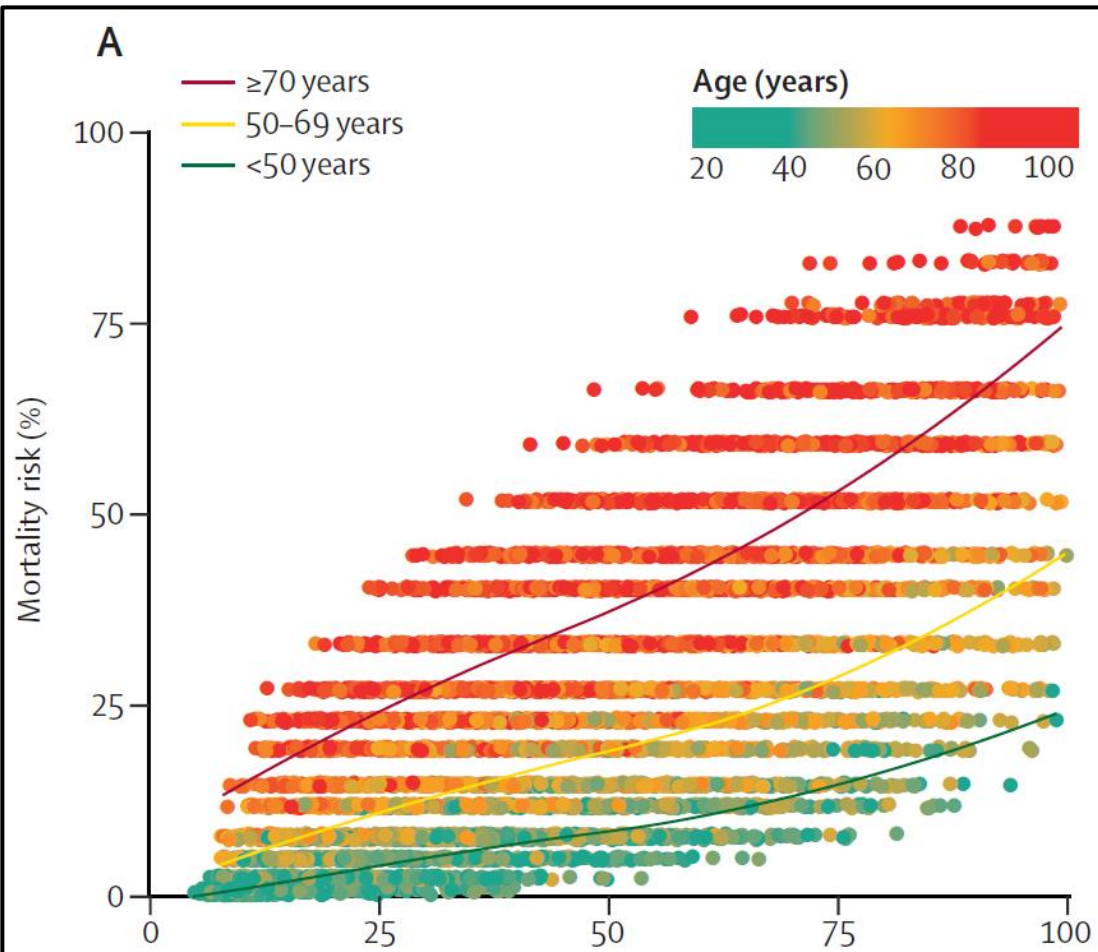


# Update: Corona und MS



# Development and validation of the ISARIC 4C Deterioration model for adults hospitalised with COVID-19: a prospective cohort study

Gupta et al., Lancet Respir. Med. 2021



## 11 predictors of deterioration (on admission):

- age,
- sex,
- nosocomial infection,
- Glasgow coma scale score,
- peripheral oxygen saturation ( $\text{SpO}_2$ ) at admission,
- breathing room air or oxygen therapy (contemporaneous with  $\text{SpO}_2$  measurement),
- Respiratory rate,
- urea concentration,
- C-reactive protein concentration,
- lymphocyte count,
- presence of radiographic chest infiltrates

# Neurological infection with SARS-CoV-2 — the story so far

Tom Solomon 

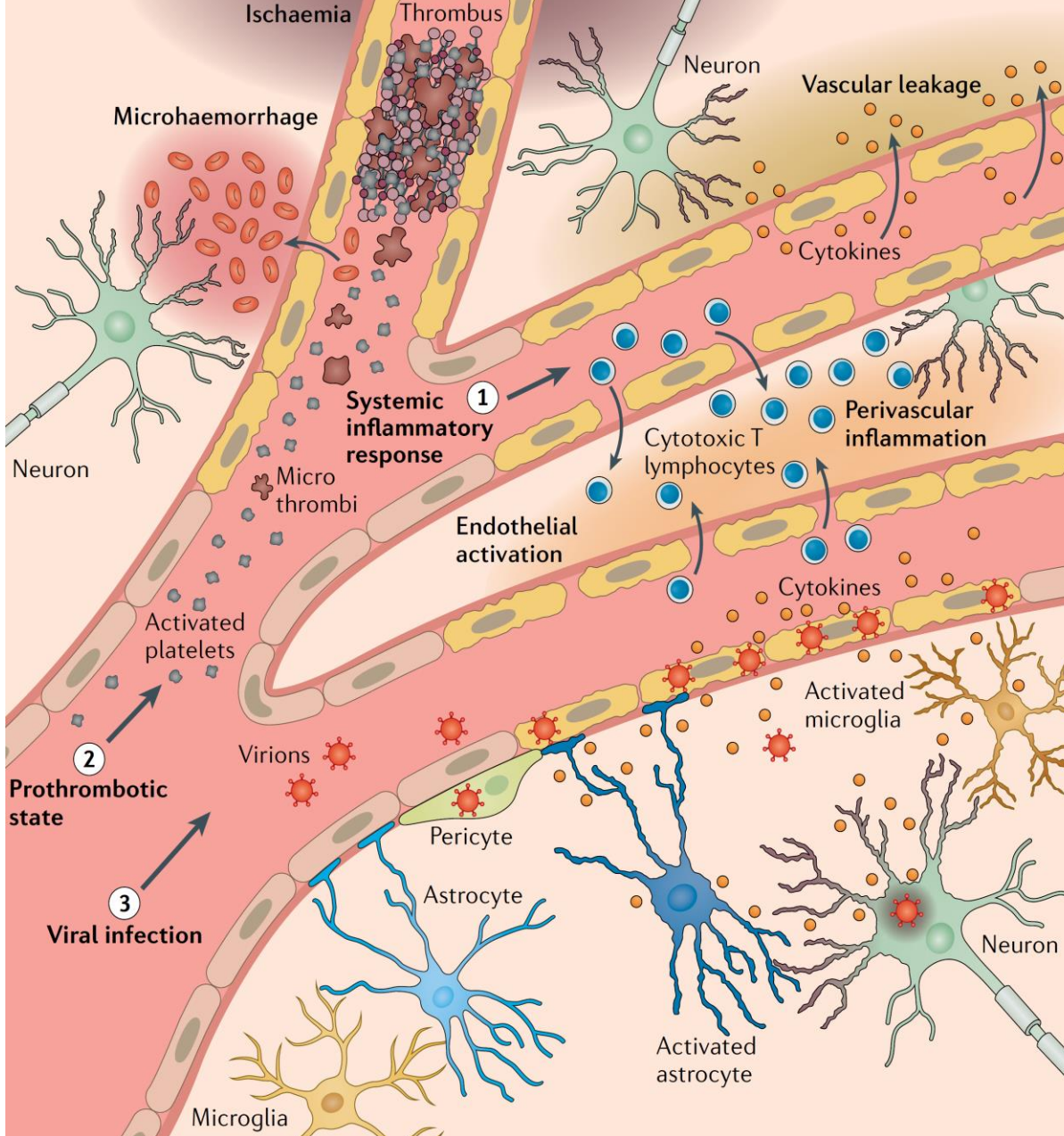
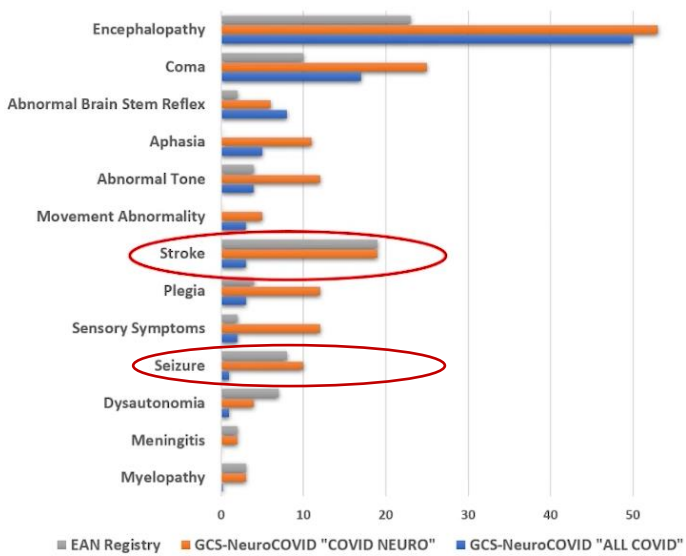
- Thrombotic/embolic vascular events
- Autoimmune mechanisms
- Endothelial inflammation/vasculitis
- CNS/PNS virus infection

## Metaanalysis: Neurological Associations of Covid-19

901 patients in 70 publications

- 93 (10%) encephalopathy
- 54 (6%) stroke
- 19 (2%) Guillain-Barré syndr.
- 8 (0.9%) encephalitis

Common: Anosmia & ageusia



# Neurological and neuropsychiatric complications of COVID-19 in 153 patients: a UK-wide surveillance study

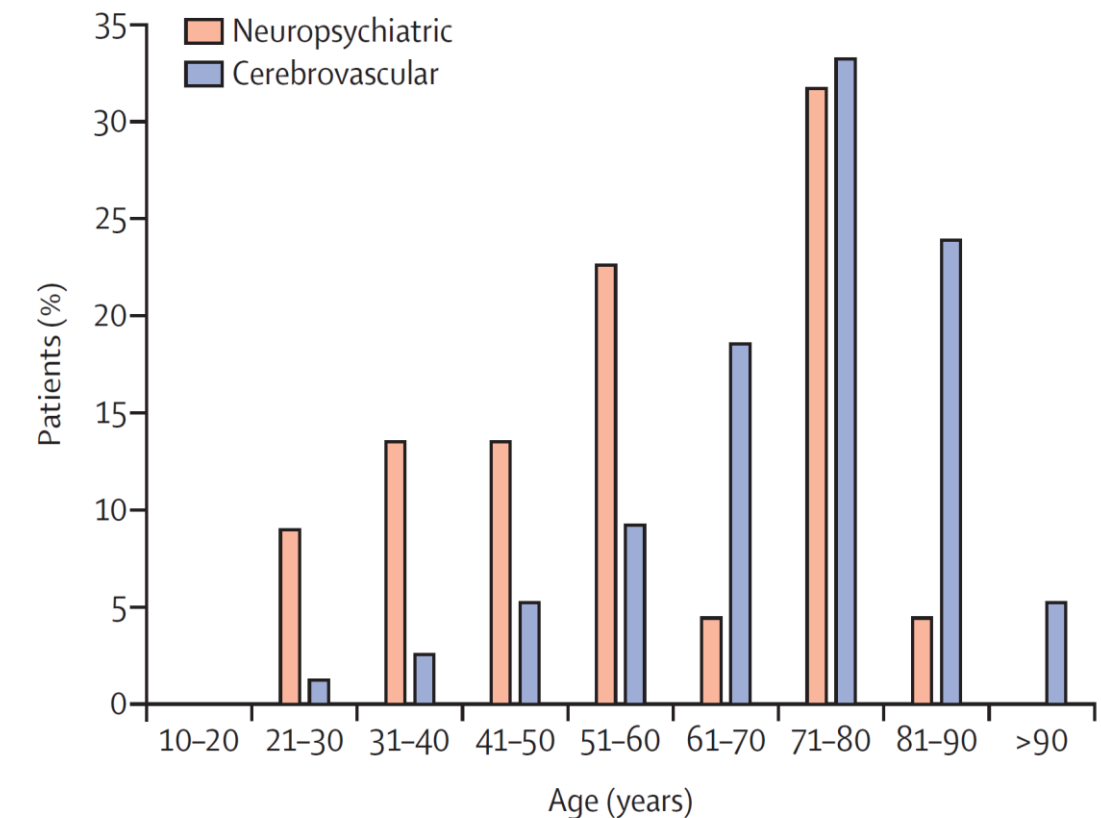
Post-AAN2021

Aravinthan Varatharaj, Naomi Thomas, Mark A Ellul, Nicholas W S Davies, Thomas A Pollak, Elizabeth L Tenorio, Mustafa Sultan, Ava Easton, Jerome Breen, Michael Zandi, Jonathan P Coles, Hadi Manji, Rustam Al-Shahi Salman, David K Menon, Timothy R Nicholson, Laura A Benjamin, Alan Carson, Craig Smith, Martin R Turner, Tom Solomon, Rachel Kneen, Sarah L Pett, Ian Galea\*, Rhys H Thomas\*, Benedict D Michael\*, on behalf of the CoroNerve Study Group†

	All cases (n=153)	Cerebrovascular (n=77)	Altered mental status (n=39)	Peripheral (n=6)	Other (n=3)
<b>Sex at birth</b>					
Male	73 (48%)	44 (57%)	23 (59%)	5 (83%)	1 (33%)
Female	44 (29%)	30 (39%)	14 (36%)	0	0
Not reported	36 (24%)	3 (4%)	2 (5%)	1 (17%)	2 (67%)
<b>Age, years</b>					
≤20	0	0	0	0	0
21–30	4 (3%)	1 (1%)	3 (8%)	0	0
31–40	4 (3%)	1 (1%)	3 (8%)	0	0
41–50	10 (7%)	5 (6%)	4 (10%)	1 (17%)	0
51–60	17 (11%)	6 (8%)	8 (21%)	2 (33%)	1 (33%)
61–70	23 (15%)	16 (21%)	5 (13%)	2 (33%)	0
71–80	31 (20%)	23 (30%)	8 (21%)	0	0
81–90	23 (15%)	18 (23%)	5 (13%)	0	0
≥91	5 (3%)	4 (5%)	1 (3%)	0	0
Missing	36 (24%)	3 (4%)	2 (5%)	1 (17%)	2 (67%)
Median (range; IQR)	71 (23–94; 58–79)	73·5 (25–94; 64–83)	71 (23–91; 48–75)	59 (44–63; 50–62)	54 (54–54)

Data are n (%), unless otherwise indicated.

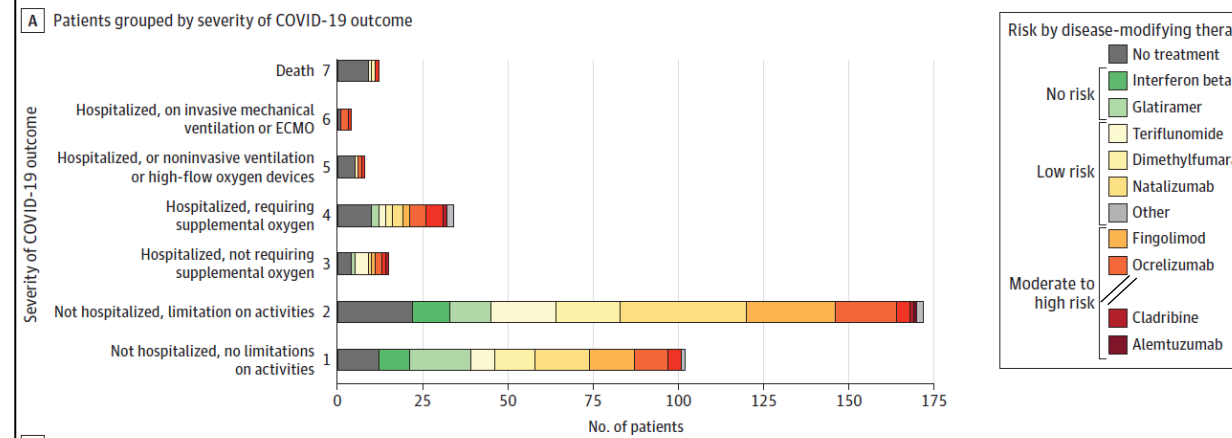
- CoroNerve Study
- N=153 pat. with neurological manifestations



# Clinical Characteristics and Outcomes in Patients With Coronavirus Disease 2019 and Multiple Sclerosis

Céline Louapre, MD; Nicolas Collongues, MD; Bruno Stankoff, MD; Claire Giannesini, MD; Caroline Papeix, MD; Caroline Bensa, MD; Romain Deschamps, MD; Alain Créange, MD; Abir Wahab, MD; Jean Pelletier, MD; Olivier Heinzel, MD; Pierre Labauge, MD; Laurent Guilloton, MD; Guido Ahle, MD; Mathilde Goudot, MD; Kevin Bigaut, MD; David-Axel Laplaud, MD; Sandra Vukusic, MD; Catherine Lubetzki, MD; Jérôme De Sèze, MD; for the Covisep investigators

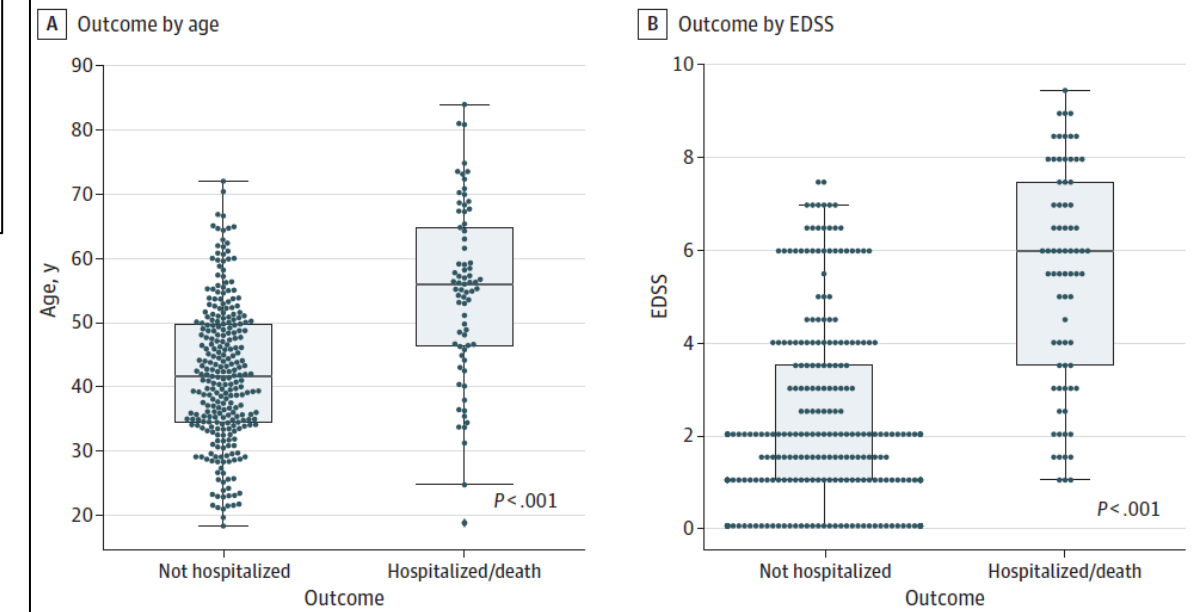
**Figure 1. Clinical Condition Rating at Nadir and Disease-Modifying Therapies in Patients With Multiple Sclerosis**



// modified by Roche

- A total of **347 patients**
- (mean [SD]) **age, 44.6 [12.8] years**,
- **249 women**;
- **disease duration, 13.5 [10.0] years**

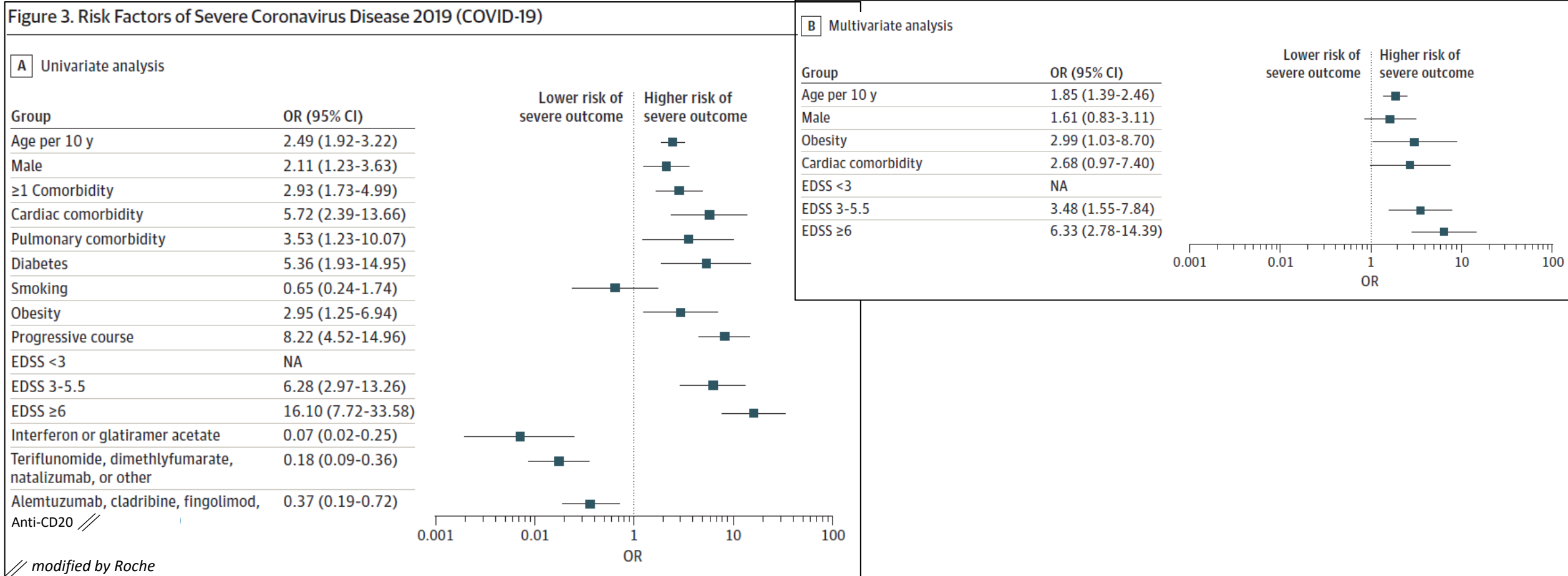
**Figure 2. Characteristics of Patients Not Hospitalized for Coronavirus Disease 2019 (COVID-19) and Patients Who Were Hospitalized With or Died of COVID-19**



# Clinical Characteristics and Outcomes in Patients With Coronavirus Disease 2019 and Multiple Sclerosis

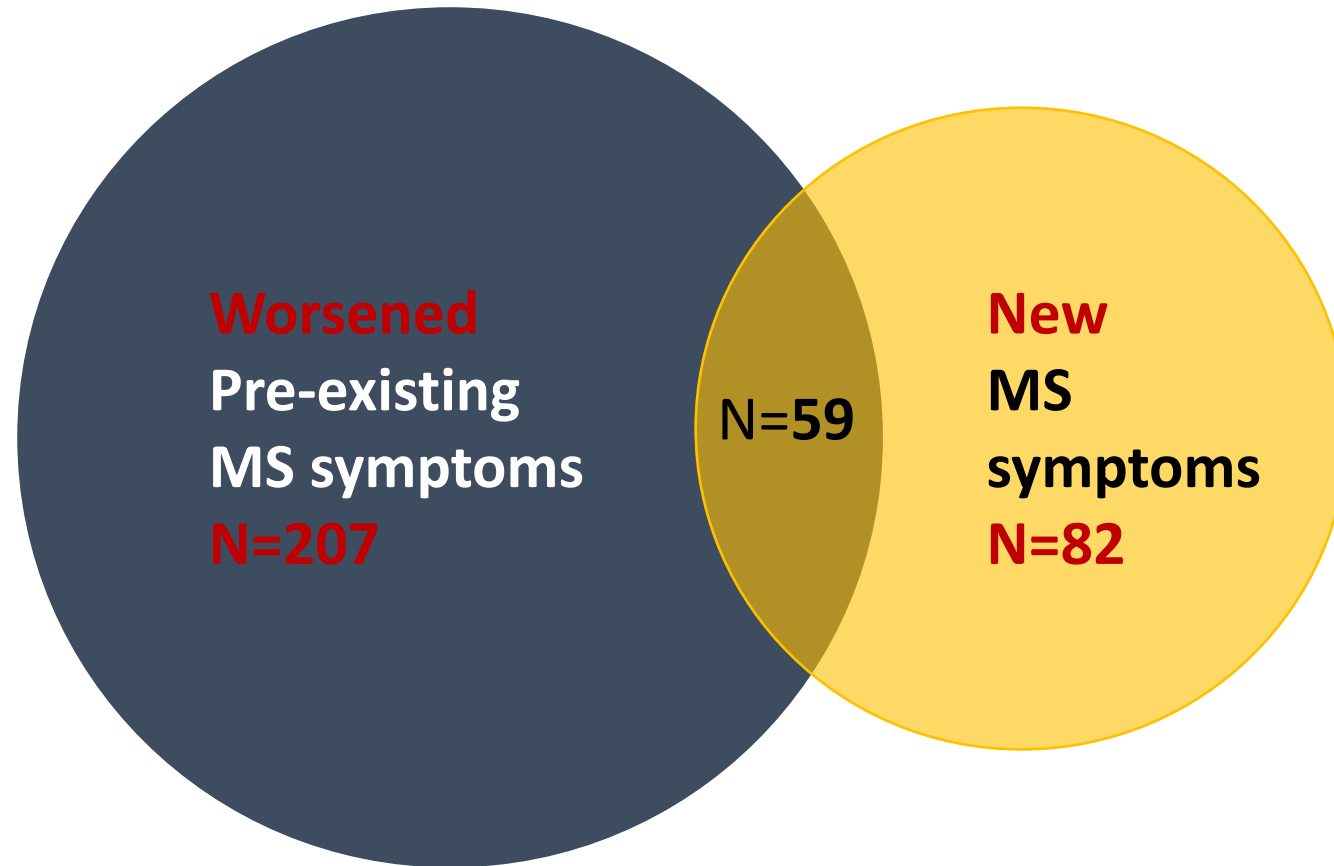
Céline Louapré, MD; Nicolas Collongues, MD; Bruno Stankoff, MD; Claire Giannesini, MD; Caroline Papeix, MD; Caroline Bensa, MD; Romain Deschamps, MD; Alain Créange, MD; Abir Wahab, MD; Jean Pelletier, MD; Olivier Heinze, MD; Pierre Labauge, MD; Laurent Guillotin, MD; Guido Ahle, MD; Mathilde Goudot, MD; Kevin Bigaut, MD; David-Axel Laplaud, MD; Sandra Vukusic, MD; Catherine Lubetzki, MD; Jérôme De Sèze, MD; for the Covisep investigators

**Figure 3. Risk Factors of Severe Coronavirus Disease 2019 (COVID-19)**



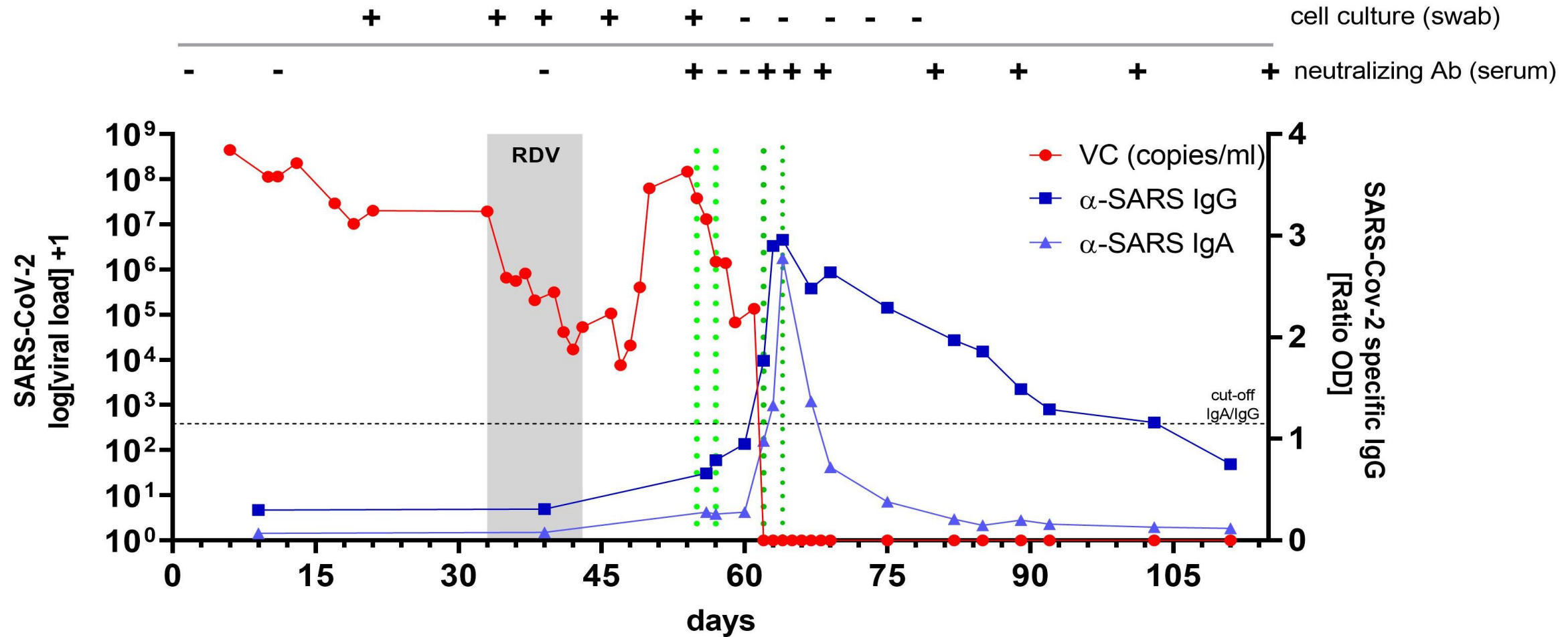
# MS Symptoms Following COVID-19

**57%** of people with MS and COVID-19 had an **exacerbation of their MS**

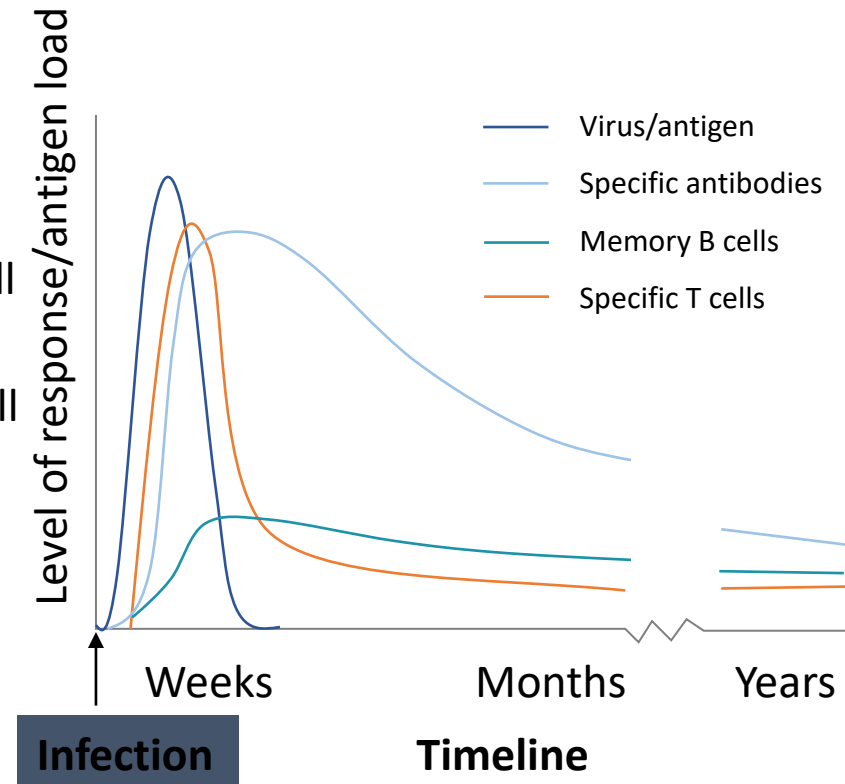
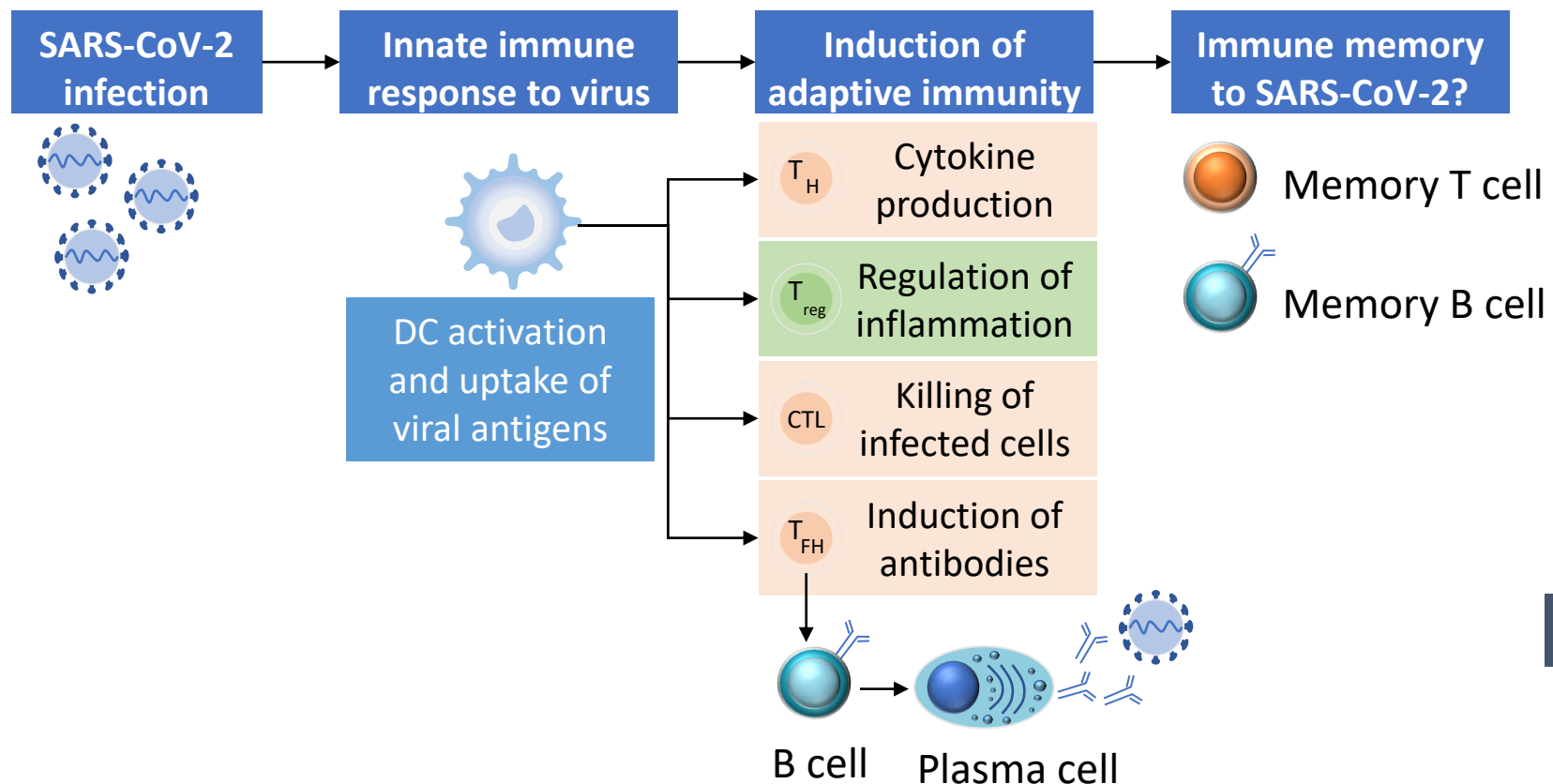


## Background information regarding immunosuppression:

Own case report on SARS-CoV-2 infection in RAG1-/ severe combined immunodeficiency (SCID)



# Immune Response to SARS-CoV-2 Infection





# Lab-confirmed COVID patients had antibody responses to SARS-CoV-2, but they were attenuated in OCR+ patients

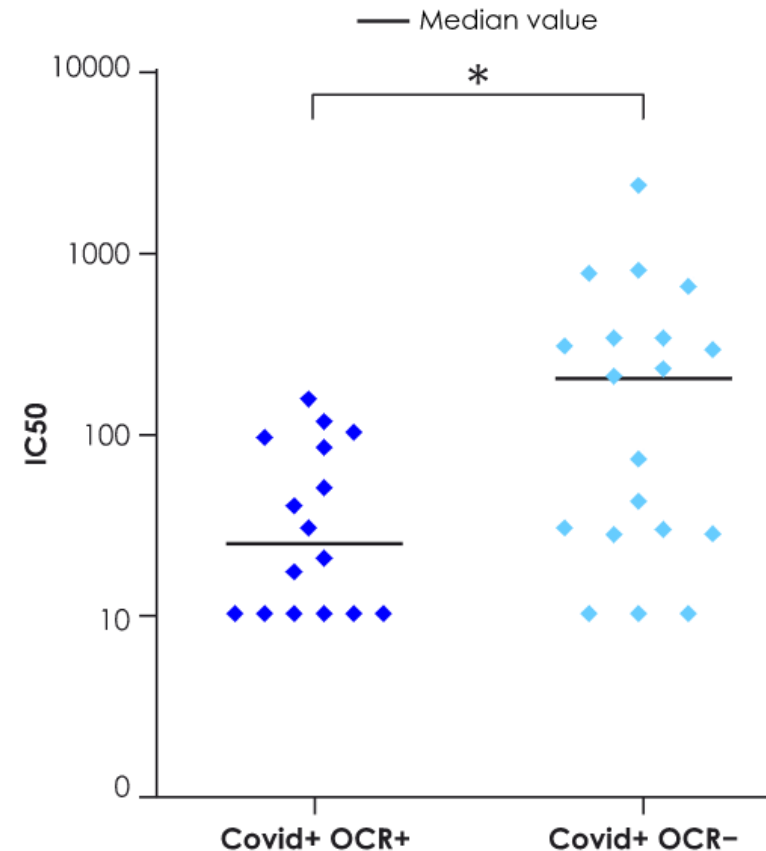
Rates of positive antibody testing in laboratory-confirmed COVID-19 group

Antibody Assay	OCR+, % (n)	OCR-, % (n)	p
Elecsys® (n=55) <sup>a</sup>	<b>58% (11/19)</b>	<b>97% (35/36)</b>	<b>0.0004</b>
NYU multiplex bead-based test (n=52) <sup>b</sup>	<b>89% (16/18)</b>	<b>97% (33/34)</b>	<b>0.27</b>
Neutralizing Ab (n=35)	<b>62% (10/16)</b>	<b>84% (13/19)</b>	<b>0.74</b>



- Antibodies with the NYU multiplex assay were detected in nearly all patients, including OCR+ patients, but levels of IgG anti-Spike antibodies were significantly lower in OCR+ group compared to OCR- lower ( $p=0.02$ , Fisher t test)
- Median IC50 of neutralizing antibodies were significantly lower in OCR group compared to OCR-group (Mann Whitney test  $p$  value = 0.02)

Neutralizing Ab with live virus SARS-CoV-2 assay



\* $p=0.02$ ; <sup>a</sup>Positive Elecsys® test was defined as any sample that was positive on either N- or S- Ab test by Roche DIA or positive on both RBD spike protein; <sup>b</sup>Positive test on NYU Multiplex test was defined as positive Spike IgG; threshold for these tests were determined using samples collected prior to pandemic (mean +3SD). Ab, antibody; OCR, ocrelizumab; RBD, receptor binding domain; SARS-CoV-2, severe acute respiratory syndrome coronavirus 2.

# T-Cell response were detected at similar rates in OCR+ and OCR- groups

Preliminary rates of T-cell activation  
In laboratory-confirmed COVID-19 group

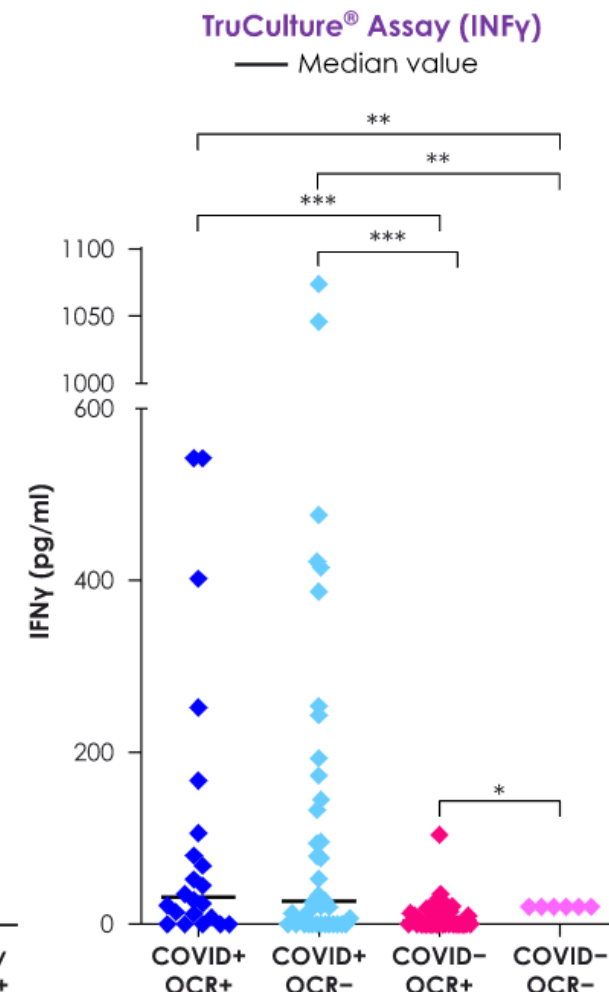
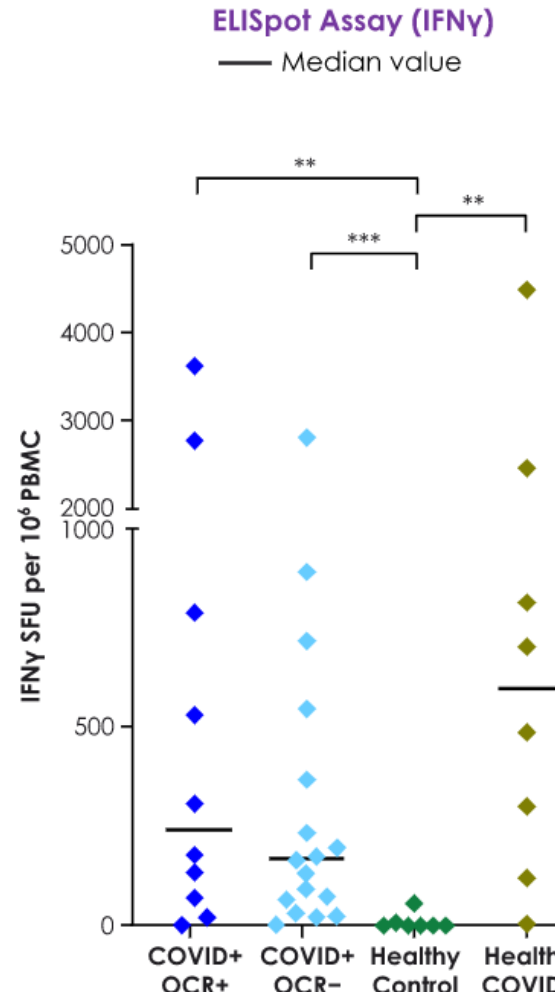
	OCR+, % (n)	OCR-, % (n)
ELISpot IFNy (n=27) <sup>a</sup>	80% (8/10)	82% (14/17)
ELISpot IL2 (n=19) <sup>a</sup>	86% (6/7)	67% (8/12)
TruCulture® both IFNy and IL2>0 (n=54) <sup>b,c</sup>	39% (7/18)	39% (14/36)



T-cell responses by ELISpot and TruCulture® were found at similar rates across patients with MS in OCR+ and OCR- groups

## CONCLUSIONS

Preliminary results suggest that Ab and T-cell responses to SARS-CoV-2 can be detected in MS patients 9 months or more after infection. Ab responses, but not T-cell responses are attenuated in OCR+ group



\*p<0.05; \*\*p<0.01; \*\*\*p<0.001; \*\*\*\*p<0.0001. <sup>a</sup>Positivity threshold for IFNy and IL2 was 25 SFU per 10<sup>6</sup> PBMC; <sup>b</sup>Antigen recall responses to SARS-CoV-2 spike protein were measured using the TruCulture® system, a responder was defined as positive for both IFNy + IL-2 ELISA; <sup>c</sup>Positivity threshold for IFNy and IL2 was 0 pg/mL. Ab, antibody; IFN, interferon; MS, multiple sclerosis; OCR, ocrelizumab; PBMC, peripheral blood mononuclear cells; SARS-CoV-2, severe acute respiratory syndrome coronavirus 2; SFU, spot forming units.

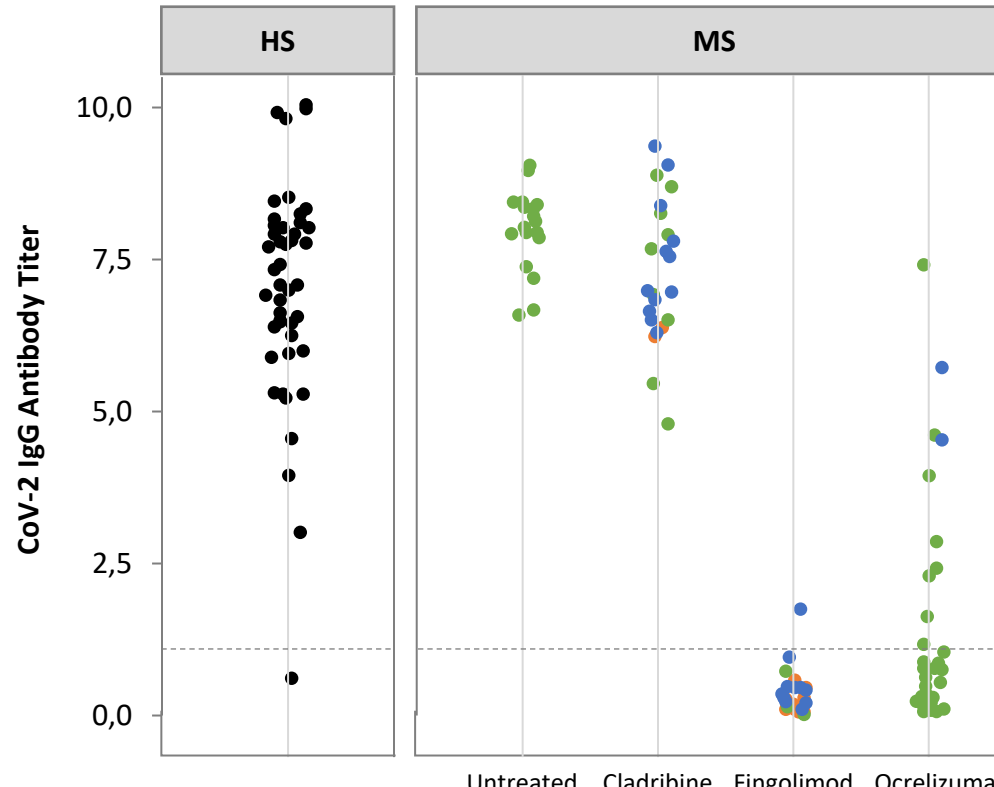
## Humoral immune response to COVID-19 mRNA vaccine in patients with multiple sclerosis treated with high-efficacy disease-modifying therapies

Anat Achiron<sup>1</sup>, Mathilda Mandel, Sapir Dreyer-Alster, Gil Harari, David Magalashvili, Polina Sonis, Mark Dolev, Shay Menascu, Shlomo Flechter, Rina Falb and Michael Gurevich

*Ther Adv Neurol Disord*  
2021, Vol. 14, 1–8  
DOI: 10.1177/1756284211012835  
© The Author(s), 2021.  
Article reuse guidelines:  
[sagepub.com/journals-permissions](http://sagepub.com/journals-permissions)

# Vaccination response: Efficacy

Study population	MS patients N=125				Healthy subjects N=47
	Cladribine N=23	Fingolimod N=26	Ocrelizumab N=44	Untreated N=32	



Time from 2<sup>nd</sup> vaccine [Days] 44  
Median [25-75 IQR] 34.5-50

46.5  
35-55

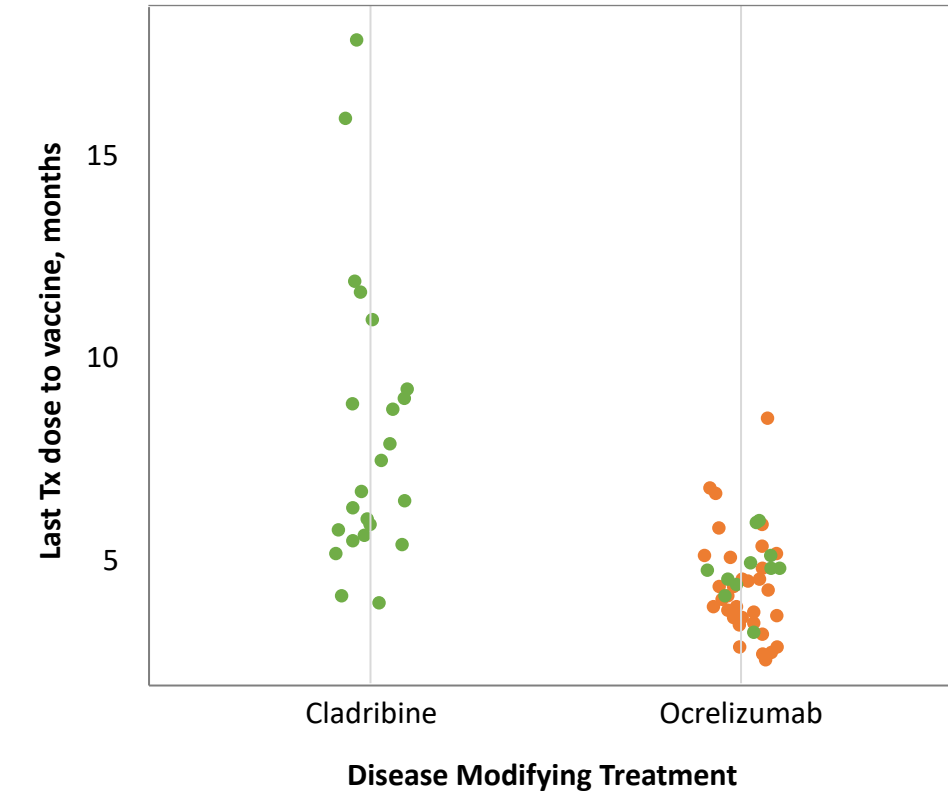
33  
29.5-35.5

39.5  
33.2-51.5

37  
32-42.2

Disease Modifying Treatment

Lymphocyte Count: ● <500 ● 500-1000 ● >1000



Post-vaccination SARS-COV-2 IgG: ● IgG- ● IgG+

# COVID-19 vaccination in patients with multiple sclerosis: What we have learnt by February 2021

Anat Achiron , Mark Dolev, Shay Menascu, Daniela-Noa Zohar, Sapir Dreyer-Alster, Shmuel Miron, Emanuel Shirbint, David Magalashvili, Shlomo Flechter, Uri Givon, Diana Guber, Yael Stern, Michael Polliack, Rina Falb and Michael Gurevich

- COVID-19 BNT162b2 vaccine proved safe for MS patients.
- No increased risk of relapse activity was noted.

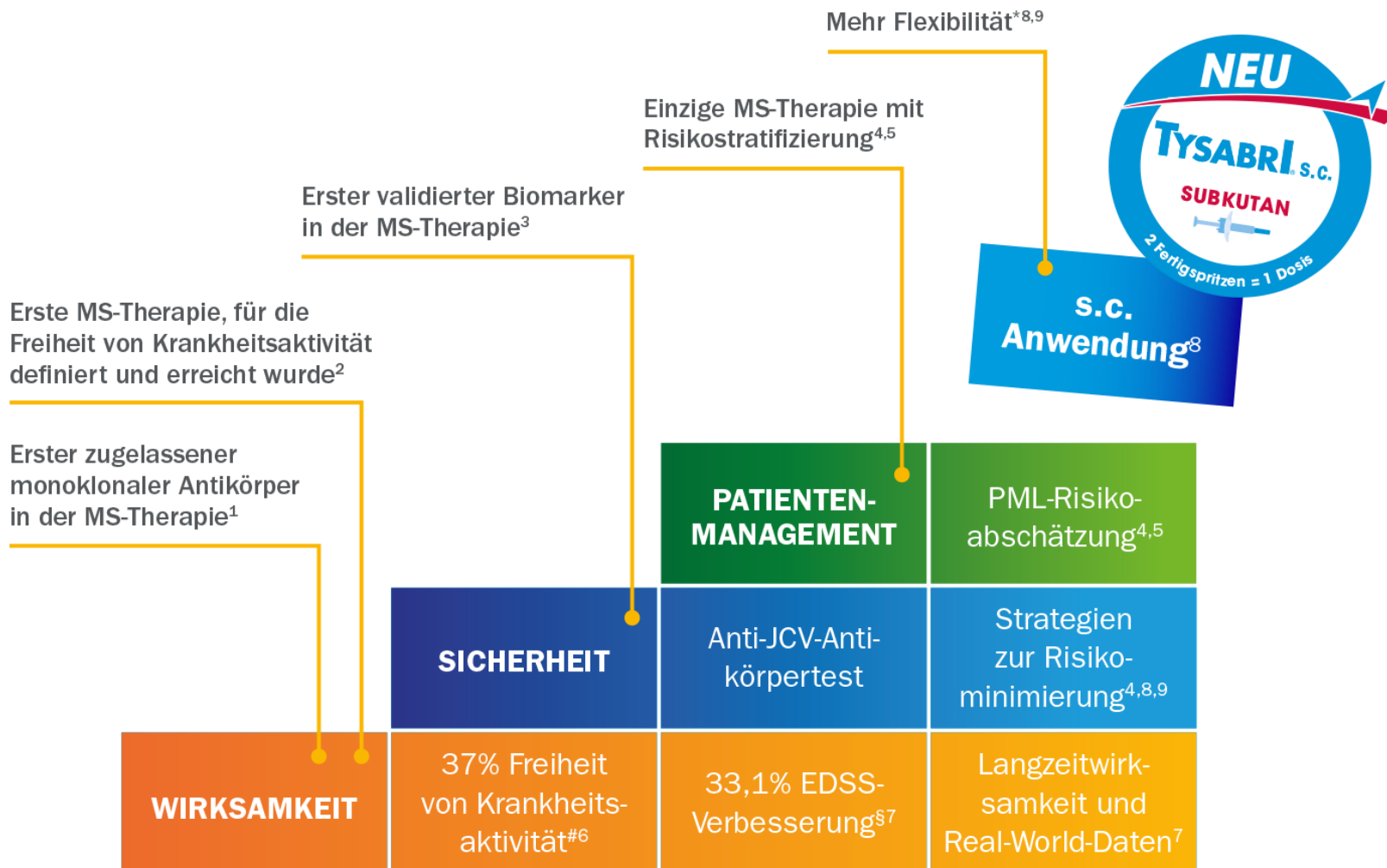
## Vaccination response: Safety

	First COVID-19 vaccination dose	Second COVID-19 vaccination dose
Study population	555	435
Any adverse events, n (%)	165 (29.7)	175 (40.2)
Pain at the injection site	89 (16)	62 (14.2)
Fever/chills, flu-like symptoms	11 (2)	52 (11.9)
Fatigue	51 (9.2)	69 (15.9)
Headache	25 (4.5)	32 (7.3)
Muscle or joint pain	13 (2.2)	40 (9.2)
Infection with SARS-CoV-2 after vaccination, n (%)	3 (0.5)	0
New or worsening neurological symptomatology, n (%)	11 (2)	21 (4.8)
Face tingling	3 (0.5)	5 (1.1)
Acute MS relapses, n (%)*	8 (2.1)	5 (1.6)
Time to relapse, days		
Median	16	15
Range	10-19	14-21

# Update: neue MS Therapien



# Evolution von Natalizumab in der MS-Therapie



\* Durch kürzere Dauer der Verabreichung im Vergleich zur intravenösen Infusion<sup>8,9</sup> | # Anteil der Patienten über 2 Jahre | § Kumulative Wahrscheinlichkeit über 10 Jahre

1. Gold R et al. Akt Neurol 2009; 36: 334 – 344; 2. Bevan CJ, Cree BAC. JAMA Neurol. 2014; 71(3): 269 – 270; 3. Lee P et al. J Clin Virol. 2013; 57(2): 141 – 146; 4. Arzt-Information und Management-Leitlinien für Patienten mit Multipler Sklerose, die TYSABRI®(i.v. & s.c.) erhalten. Version 19, genehmigt vom PEI: Februar 2021; 5. Ho PR et al. Lancet Neurol. 2017; 16: 925 – 933; 6. Havrdova E et al. Lancet Neurol. 2009; 8(3): 254 – 260; 7. Butzkueven H et al. J Neurol Neurosurg Psychiatry. 2020; 91(6): 660 – 668; 8. TYSABRI®s.c. Fachinformation, Stand April 2021; 9. TYSABRI®i.v. Fachinformation, Stand April 2021

# Der nächste Evolutionsschritt: Natalizumab in subkutaner Applikation



# DELIVER & REFINE: Datengrundlage Natalizumab s.c.



	<b>DELIVER<sup>1</sup></b>	<b>REFINE<sup>2</sup></b>
<b>Studiendesign</b>	Randomisierte, offene <b>Phase-I-Studie</b> mit mehreren Dosierungen zur Untersuchung der s.c., i.m. und i.v. Anwendung von TYSABRI® bei Patienten mit RRMS oder SPMS, die bisher <b>nicht</b> mit Natalizumab behandelt wurden	Exploratorische, hinsichtlich der Dosis und Anwendungsfrequenz verblindete, prospektive, randomisierte <b>Phase-II-Studie</b> mit mehreren Dosierungen zur Untersuchung der Wirksamkeit, Sicherheit und Verträglichkeit verschiedener Verabreichungswege von <b>TYSABRI® bei klinischen stabilen RRMS-Patienten</b>
<b>TYSABRI® Dosierung</b>	<ul style="list-style-type: none"><li>• 300 mg <b>i.v.</b> alle 4 Wochen</li><li>• 300 mg <b>s.c.</b> alle 4 Wochen</li><li>• 300 mg <b>i.m.</b> alle 4 Wochen (nur SPMS-Patienten)</li></ul>	<ul style="list-style-type: none"><li>• <b>300 mg i.v./s.c. alle 4 Wochen</b></li><li>• 300 mg i.v./s.c. alle 12 Wochen</li><li>• 150 mg i.v./s.c. alle 12 Wochen</li></ul>

i.m.: intramuskulär; i.v.: intravenös; RRMS: Schubförmig remittierende Multiple Sklerose; s.c.: subkutan; SPMS: Sekundär progrediente Multiple Sklerose.

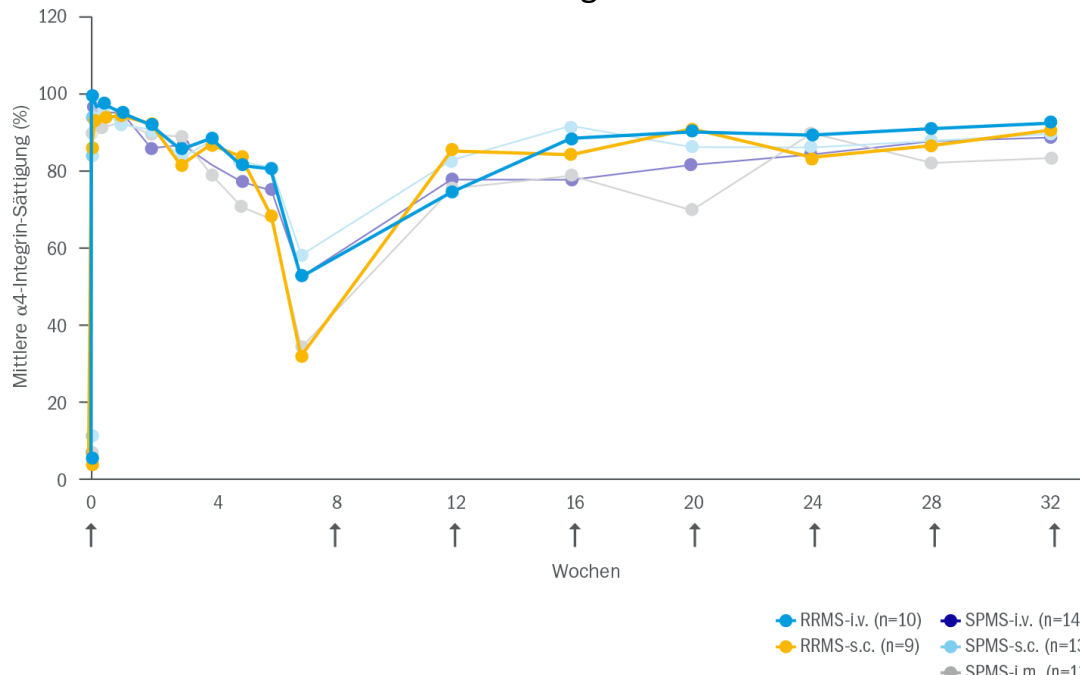
SPMS ist außerhalb den USA keine zugelassene Indikation für die Anwendung von TYSABRI®.

1. Plavina T et al. J Clin Pharmacol. 2016; 56(10): 1254–1262 | 2. Trojano M et al. MSJ 2021, [doi.org/10.1177/13524585211003020](https://doi.org/10.1177/13524585211003020)

# $\alpha$ 4-Integrin-Sättigung (%) unter Natalizumab 300 mg s.c. und i.v. alle 4 Wochen waren vergleichbar

## DELIVER: Patienten ohne Natalizumab-Vorbehandlung<sup>1</sup>

Die s.c. Injektion von Natalizumab 300 mg alle 4 Wochen führte zu einer vergleichbaren  $\alpha$ 4-Integrin-Sättigung wie die i.v. Infusion von Natalizumab 300 mg alle 4 Wochen



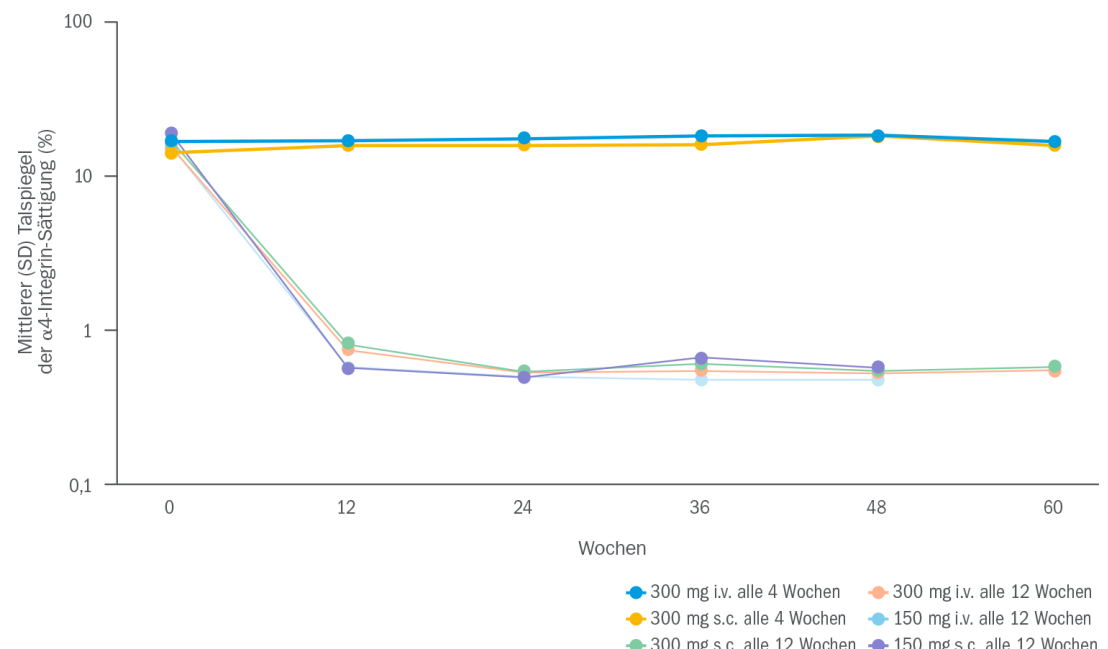
Schwarze Pfeile zeigen die Zeitpunkte der Natalizumab-Gaben an.

Die  $\alpha$ 4-Integrin-Sättigung der Lymphozyten wurde in allen Gruppen schnell erreicht, wobei eine Sättigung von > 80% innerhalb von 4 Stunden zu beobachten war und blieb von Woche 12 an im Allgemeinen  $\geq 80\%$

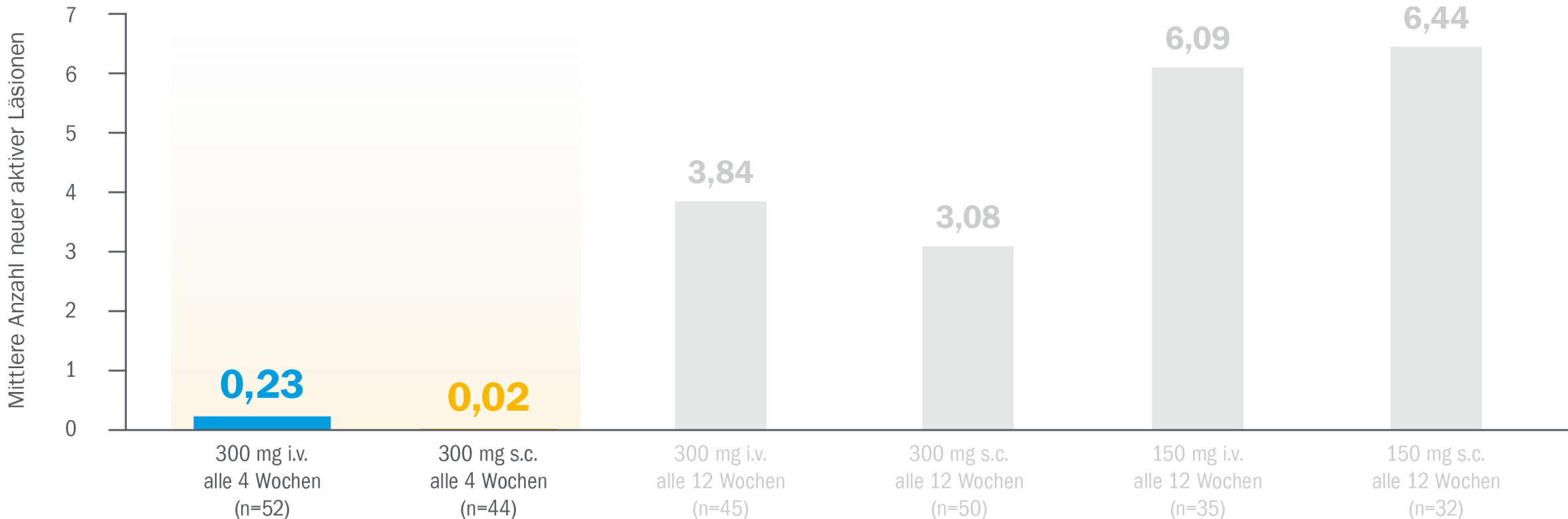
1. Plavina T et al. J Clin Pharmacol. 2016;56:1254-1262 | 2. Trojano M et al. MSJ 2021, doi.org/10.1177/13524585211003020

## REFINE: Patienten mit $\geq 11$ i.v. Infusionen von 300 mg Natalizumab in den 12 Monaten vor der Randomisierung<sup>2</sup>

Nur die Gabe von Natalizumab 300 mg s.c. alle 4 Wochen führte zu einer vergleichbaren  $\alpha$ 4-Integrin-Sättigung wie Natalizumab 300 mg i.v. alle 4 Wochen



# REFINE<sup>1</sup>: Wirksamkeit – Primärer Endpunkt aktive Läsionen

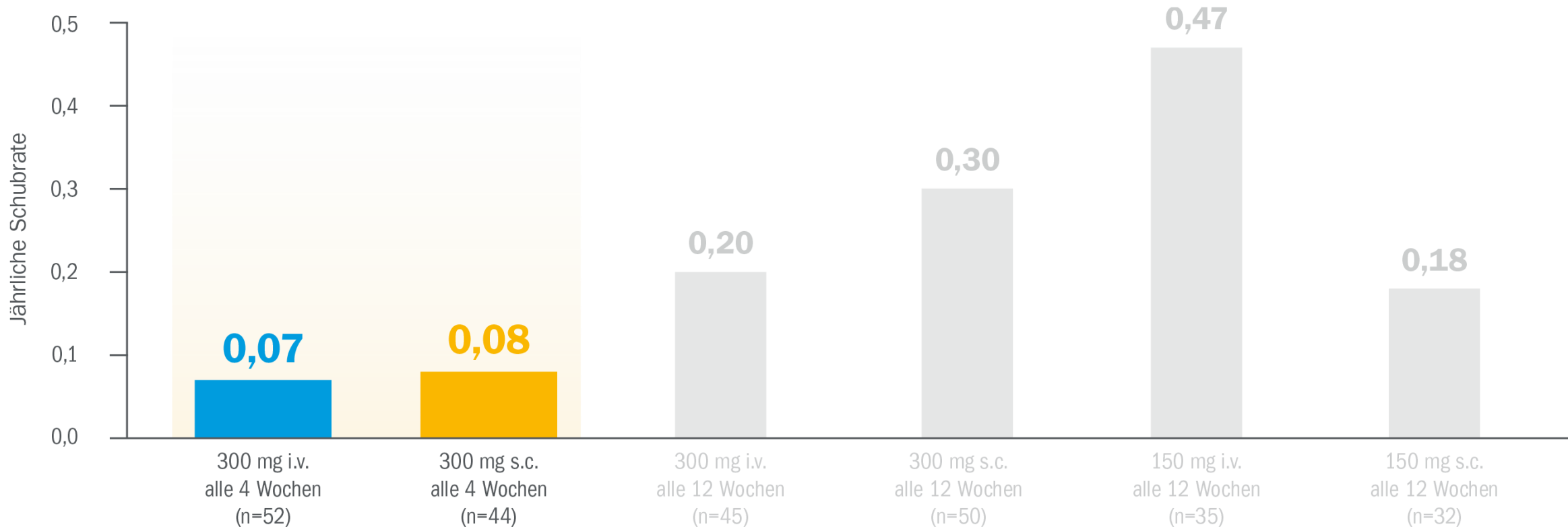


In Woche 60 war die mittlere Gesamtzahl aller einzelnen aktiven Läsionen seit Baseline in der Gruppe mit Natalizumab **300 mg s.c. alle 4 Wochen** (0,02) und in der Gruppe mit Natalizumab **300 mg i.v. alle 4 Wochen** (0,23) vergleichbar

In der REFINE-Studie wurden keine formalen Vergleiche zwischen den Therapiearmen durchgeführt.

1. Trojano M et al. MSJ 2021, [doi.org/10.1177/13524585211003020](https://doi.org/10.1177/13524585211003020)

# REFINE<sup>1</sup>: Wirksamkeit – jährliche Schubrate



Die jährliche Schubrate war in der Gruppe mit Natalizumab **300 mg i.v. alle 4 Wochen** (0,07) und in der Gruppe mit Natalizumab **300 mg s.c. alle 4 Wochen** (0,08) vergleichbar

In der REFINE-Studie wurden keine formalen Vergleiche zwischen den Therapiearmen durchgeführt.

1. Trojano M et al. MSJ 2021, [doi.org/10.1177/13524585211003020](https://doi.org/10.1177/13524585211003020)

# Anwendung von Natalizumab s.c.



- **Zwei Fertigspritzen = Eine Dosis<sup>1</sup>**
- Jede Natalizumab s.c. Fertigspritze enthält 150 mg Natalizumab
- Je 1 ml Flüssigkeit



- **Nachbeobachtung<sup>1</sup>**
- Nach der 1. bis 6. Injektion = Eine Stunde
- Ab der 7. Injektion nach Ermessen des Arztes



- **Wechsel i.v. ↔ s.c. jederzeit möglich<sup>1</sup>**
- Anwendung in Klinik oder Praxis
- Injektion kann durch Nurse erfolgen

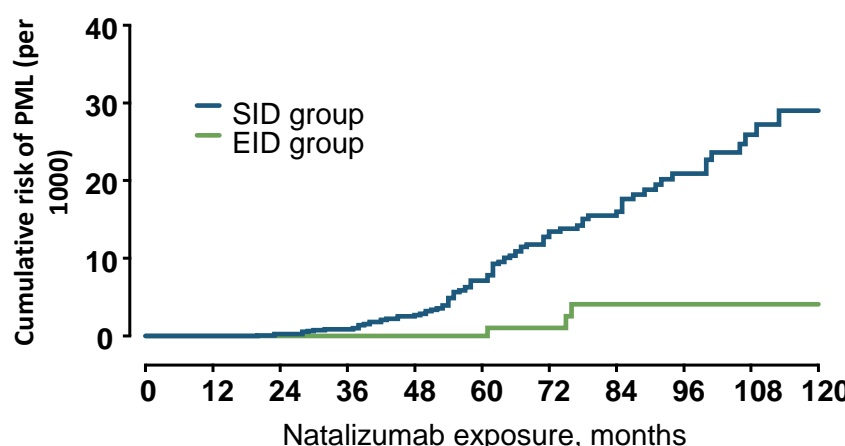
# TOUCH Registry: Natalizumab PML incidence standard vs extended dosing interval

## EID primary

Tests whether dosing history in the last 18 months of natalizumab treatment affects PML risk

*P* value from log-rank test: <0.001

HR (95% CI) from Cox regression analysis<sup>a</sup>:  
0.06 (0.01–0.22); *P*<0.001

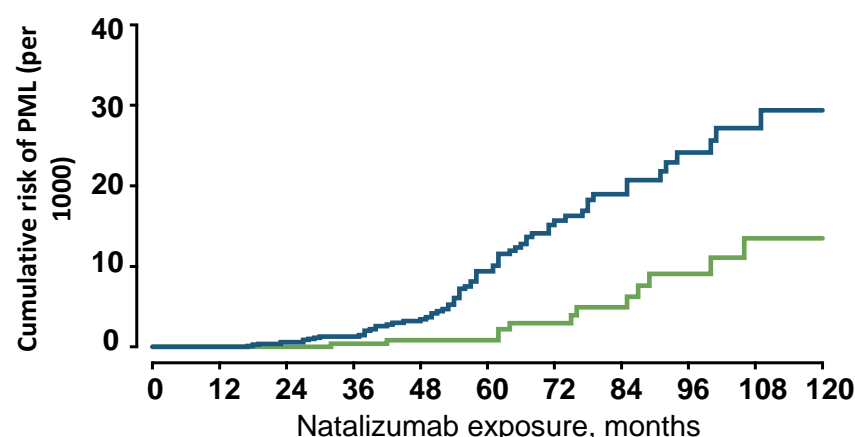


## EID secondary

Tests whether a prolonged period of EID occurring anytime in the dosing history affects PML risk

*P* value from log-rank test: <0.001

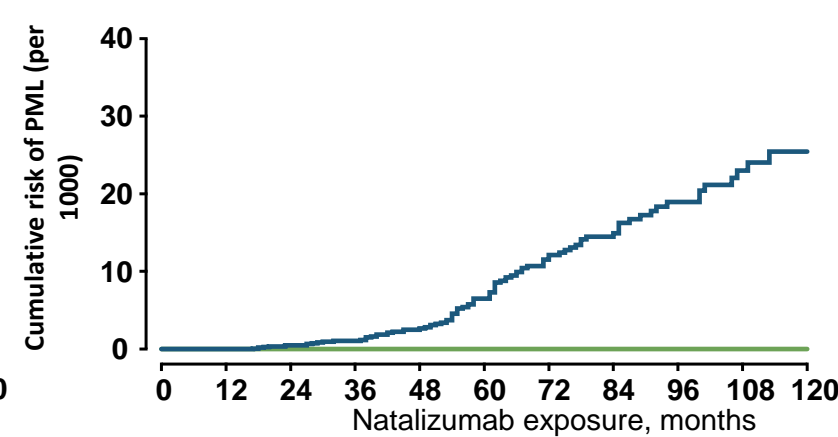
HR (95% CI) from Cox regression analysis<sup>a</sup>:  
0.12 (0.05–0.29); *P*<0.001



## EID tertiary

Tests whether a primarily EID dosing history affects PML risk

*P* value from log-rank test: 0.020<sup>d</sup>



Number of patients at risk<sup>b</sup>

SID group 13132 13132 10596 7850 5989 4236 2775 1823 1205 734 296  
EID group 1988 1988 1817 1502 1225 958 700 515 374 247 113

Cumulative number of PML cases<sup>c</sup>

SID group 0 0 3 9 22 45 68 74 82 87 89  
EID group 0 0 0 0 0 0 1 3 3 3 3

Number of patients at risk<sup>b</sup>

SID group 15424 13104 8083 5629 4134 2829 1756 1117 718 440 172  
EID group 3331 3285 2949 2463 1990 1494 1063 756 535 342 145

Cumulative number of PML cases<sup>c</sup>

SID group 0 0 6 11 22 43 58 63 68 70 71  
EID group 0 0 0 1 2 2 5 7 10 12 12

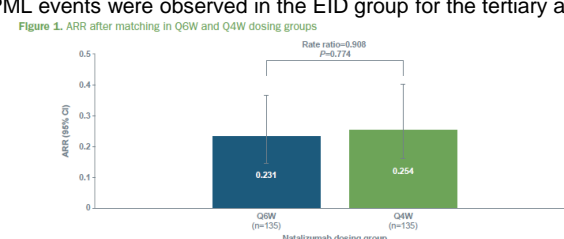
Number of patients at risk<sup>b</sup>

SID group 23168 17187 11836 8898 6844 4920 3277 2201 1486 920 388  
EID group 815 749 577 454 370 274 198 137 93 61 21

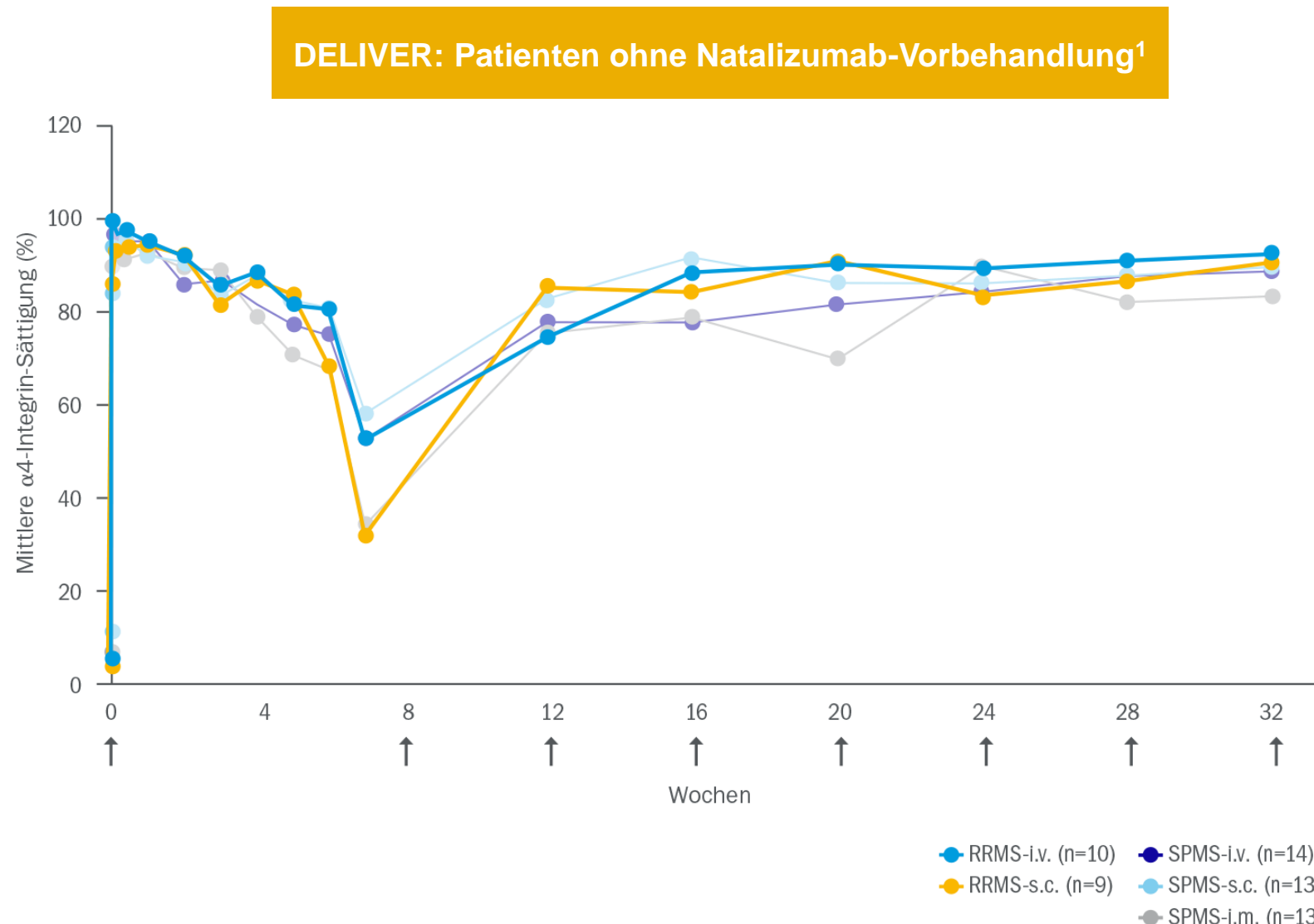
Cumulative number of PML cases<sup>c</sup>

SID group 0 0 7 13 26 49 73 81 89 94 96  
EID group 0 0 0 0 0 0 0 0 0 0 0

- The analysis populations include anti-JCV antibody positive patients without a treatment gap (>12 weeks between doses) or overdosing (<3 weeks between doses). The secondary analysis also excluded patients with >1 EID/SID sequence.
- <sup>a</sup>EID vs SID. Model includes age, sex, prior use of immunosuppressants, EID/SID group, and calendar year at the start of natalizumab treatment as covariates; <sup>b</sup>number of patients who were still in the study and did not have PML at the end of the specified time; <sup>c</sup>cumulative number of PML cases at the end of the specified time; <sup>d</sup>because no PML events were observed in the EID group for the tertiary analysis, the Cox regression model cannot be performed.
- HR=hazard ratio.
- Zhovtis Ryerson L et al. Presented at ACTRIMS Forum 2018; San Diego, CA; February 1–3, 2018. LB350.



# $\alpha$ 4-Integrin-Sättigung (%) unter Natalizumab 300 mg s.c. und i.v. alle 4 Wochen waren vergleichbar



Schwarze Pfeile zeigen die Zeitpunkte der Natalizumab-Gaben an.

Die  $\alpha$ 4-Integrin-Sättigung der Lymphozyten wurde in allen Gruppen schnell erreicht, wobei eine Sättigung von > 80% innerhalb von 4 Stunden zu beobachten war und blieb von Woche 12 an im Allgemeinen  $\geq 80\%$

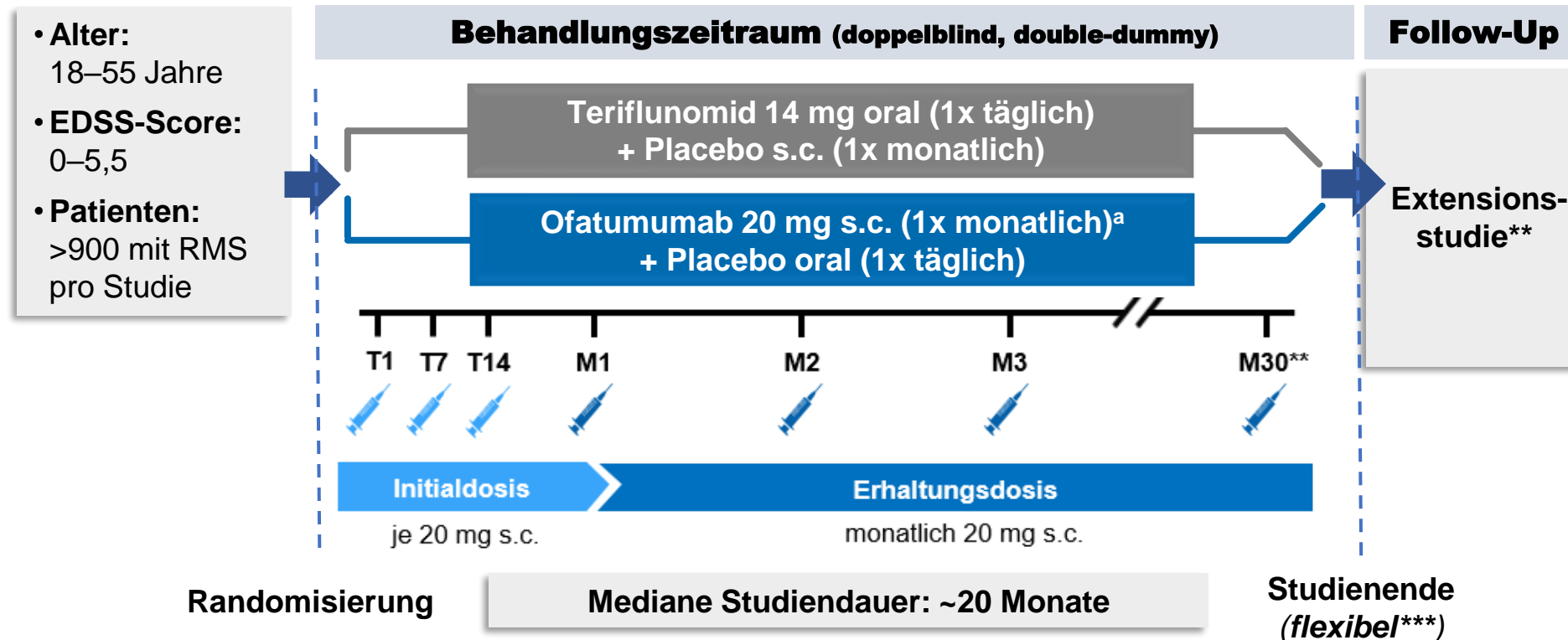
1. Plavina T et al. J Clin Pharmacol. 2016;56:1254-1262 | 2. Trojano M et al. MSJ 2021, doi.org/10.1177/13524585211003020

# Ofatumumab



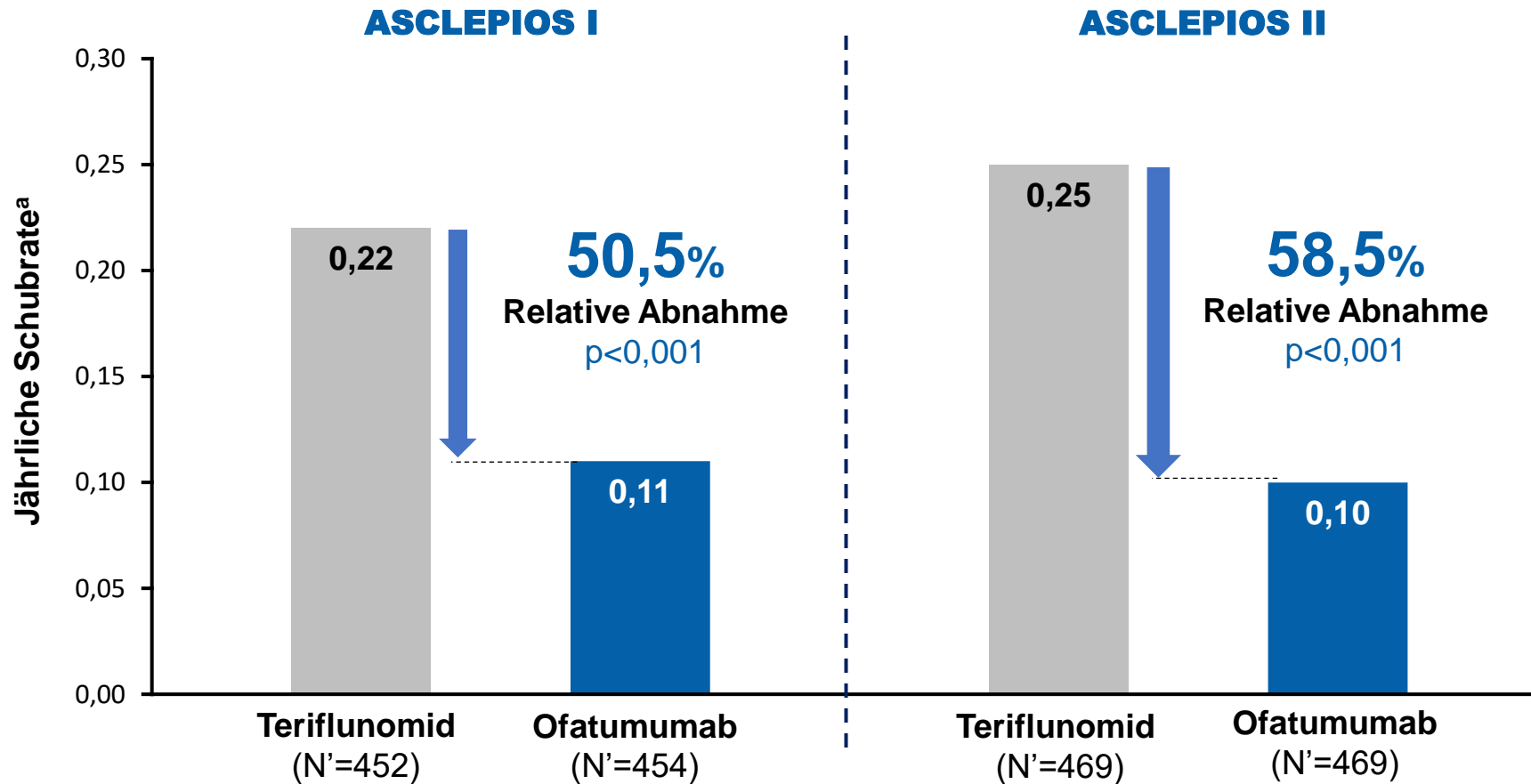
- 1. Klinische Evidenz für den frühen Einsatz einer adäquaten Therapie**
- 2. Ofatumumab: Direktes lymphatisches Targeting durch subkutane Applikation**
- 3. Ofatumumab: Phase III Studien**

# Identisches Studiendesign\* ASCLEPIOS I und II



\*<sup>a</sup> 20mg Ofatumumab in einem Injektionsvolumen von 0.4ml; \*parallele Durchführung, \*\*open label Extension Study; siehe Redner-Anmerkungen; \*\*\*maximal 30 Monate für den einzelnen Patienten, minimale Behandlungsdauer für den letzten rekrutierter Patienten 1 Jahr, Studienende definiert durch gesammelte statistische Information (Schübe und Behinderungsverschlechterung); EDSS, Expanded Disability Status Scale; M, Monat; s.c., subkutan; T, Tag;  
\*Kappos L et al, Presented at ECTRIMS 2018. P965; Hauser SL, et al. N Engl J Med. 2020;383:546–57;

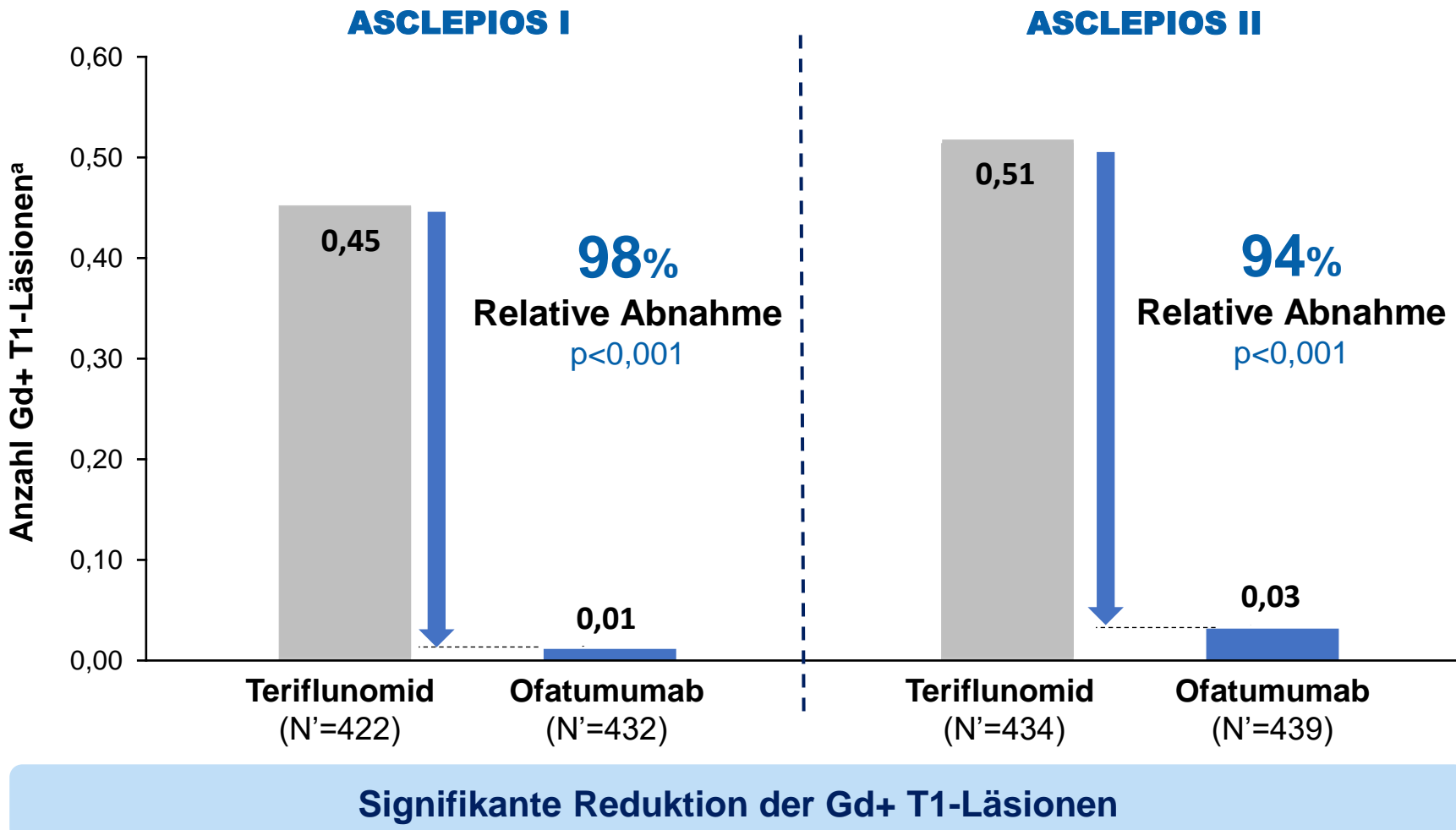
# Signifikante Abnahme der jährlichen Schubrate



Unter Ofatumumab trat im Mittel etwa 1 Schub in 10 Patientenjahren auf

<sup>a</sup>Komplettes Analyseset. Primärer Endpunkt. <sup>a</sup>Adjustierte jährliche Schubrate: Negatives binomiales Regressionsmodell. N', Gesamtzahl der Patienten in Analyse.

\*Hauser SL, et al. N Engl J Med. 2020;383:546-57;



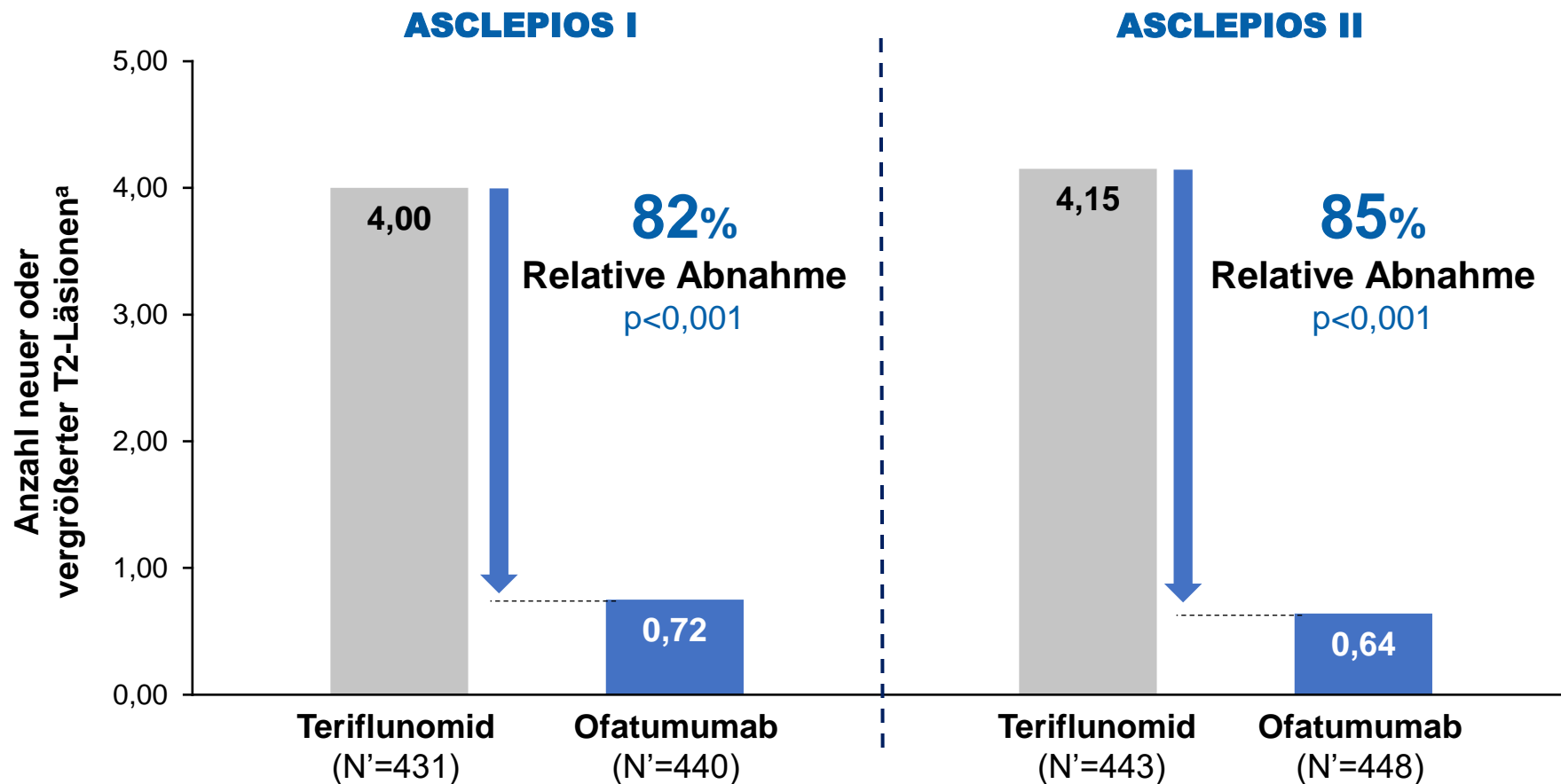
\*Komplettes Analyseset. Sekundärer Endpunkt. Studienende. MRI: Screening (D-45 bis D-8), M12/24, EOT/EOS (wenn kein MRI in den letzten 3 Monaten);

<sup>a</sup>N', Gesamtzahl der Patienten in Analyse, M, Monat; MRT, Magnetresonanztomographie; EOS, Studienende (end of study); EOT, Behandlungsende (end of treatment)

<sup>b</sup>Negatives Binomial-Regressionsmodell.

\*Hauser S, et al. präsentiert bei ECTRIMS 2019, Scientific Session 17: Late Breaking News - <https://onlinelibrary.ectrims-congress.eu/>; Hauser SL, et al. N Engl J Med. 2020;383:546–57;

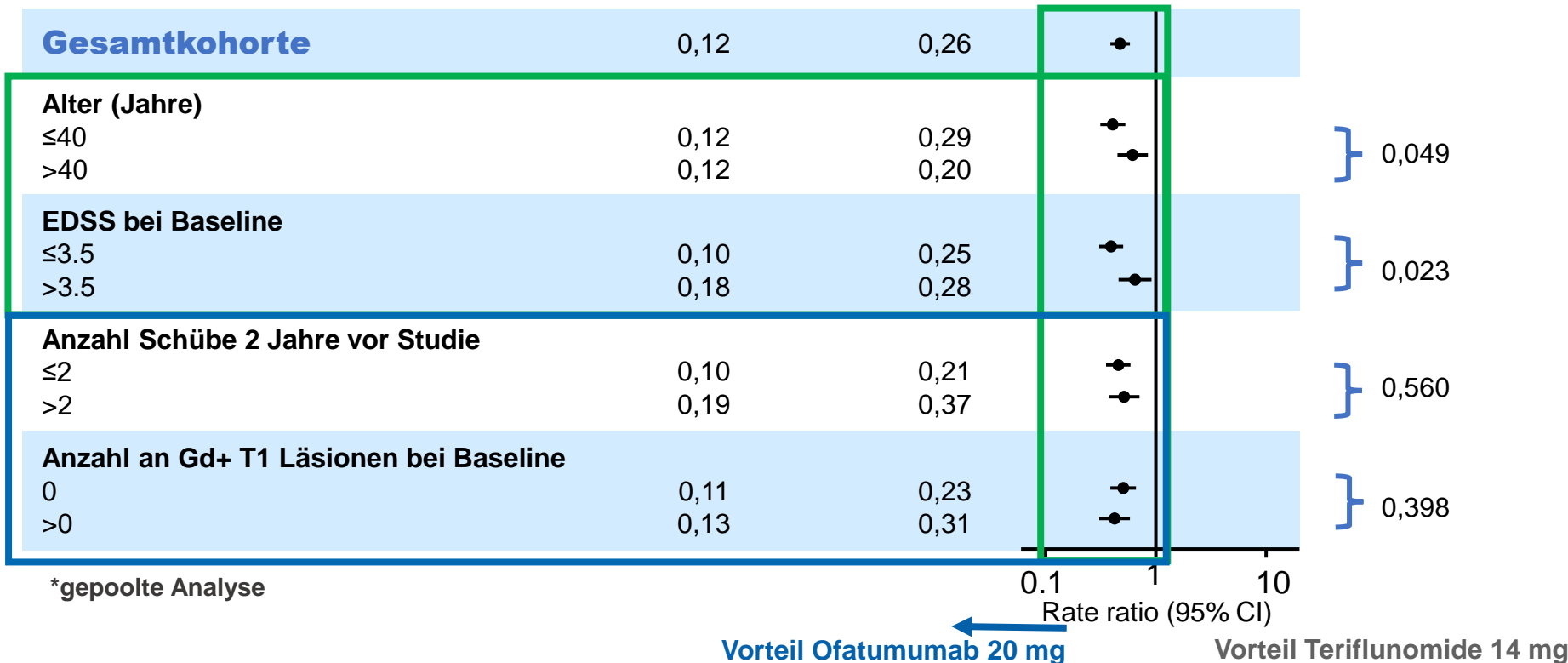
# Neue oder vergrößerte T2-Läsionen pro Jahr



\*Komplettes Analyseset. Sekundärer Endpunkt. Studienende. MRI: Screening (D-45 bis D-8), M12/24, EOT/EOS (wenn kein MRI in den letzten 3 Monaten);  
• N': Gesamtzahl der Patienten in Analyse, M, Monat; MRT, Magnetresonanztomographie; EOS, Studienende (end of study); EOT, Behandlungsende (end of treatment) <sup>a</sup>Negatives Binomial-Regressionsmodell.  
• Hauser S, et al. präsentiert bei ECTRIMS 2019, Scientific Session 17: Late Breaking News - <https://onlinelibrary.ectrims-congress.eu/>; Hauser SL, et al. N Engl J Med. 2020;383:546–57;

# Reduktion der jährlichen Schubrate

## Ofatumumab Teriflunomid



Patienten mit jüngerem Alter oder einem niedrigeren EDSS profitieren tendenziell stärker von Ofatumumab

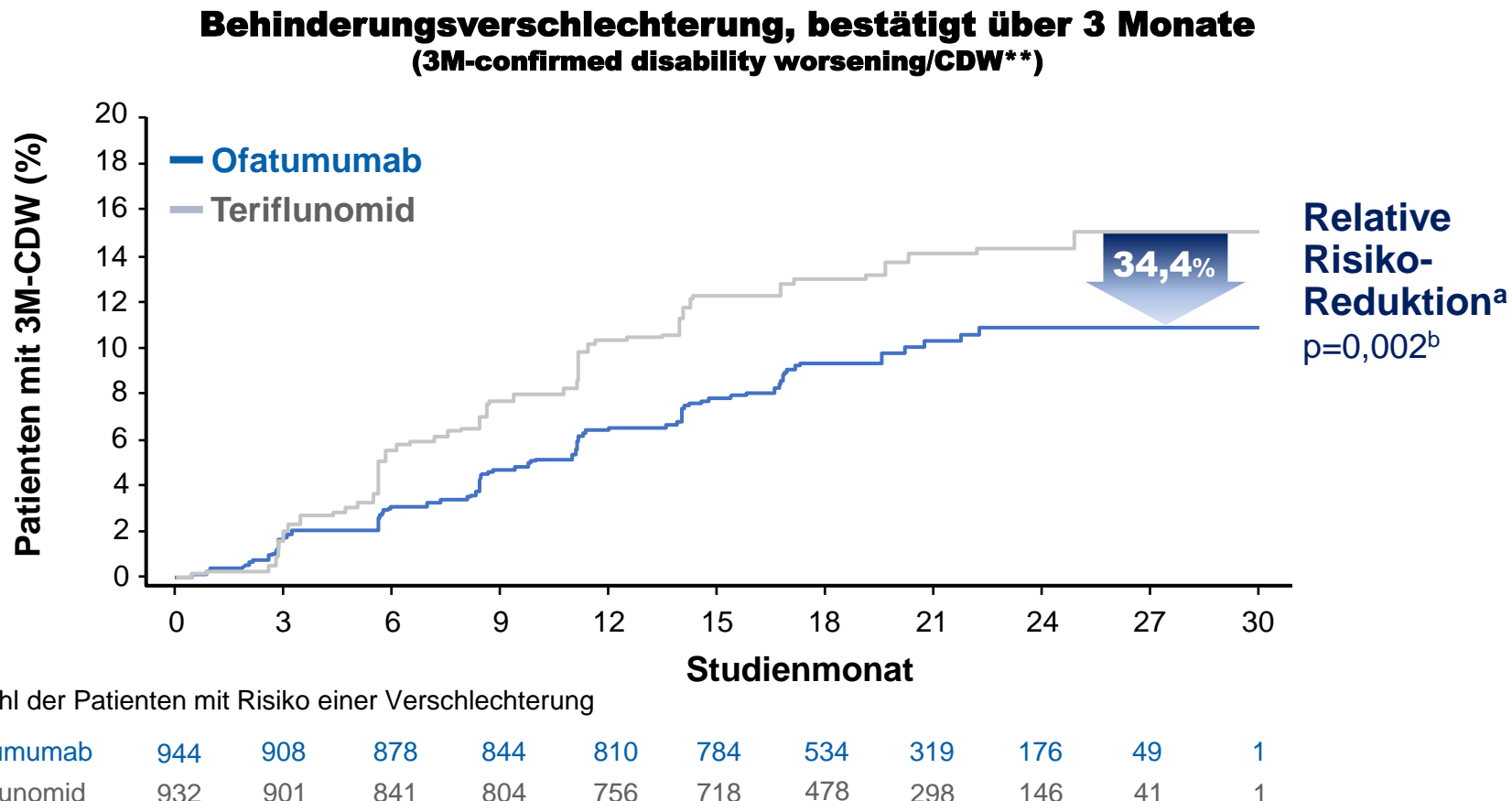
\* CI, confidence interval; EDSS, Expanded Disability Status Scale; Gd+, gadolinium-enhancing; N, total number of patients included in the analysis

<sup>a</sup>P-value for the type-3 test of the treatment by subgroup interaction is a heterogeneity test (the treatment effect is similar between subgroups if the test is non-significant). Model was adjusted for study, treatment for the overall analysis, with additional co-factors of subgroup, treatment by subgroup interaction for subgroup analysis. Natural log of the time-in-study was used as offset to annualize the relapse rate

<sup>a</sup>Hauser S, et al. presented at EAN 2020, Poster Session P7.1-013

# Ofatumumab – sekundärer Endpunkt\*: Reduktion der Behinderungsverschlechterung

ASCLEPIOS I  
ASCLEPIOS II  
WIRKSAMKEIT



**Ofatumumab senkt das Risiko einer Behinderungsverschlechterung signifikant**

\*Komplettes Analyseset. gepoolte Analyse Asclepios I und II \*\*CDW, bestätigte Behinderungs-Verschlechterung (confirmed disability worsening), sowohl abhängig als auch unabhängig von Schüben (über CDP wird nur die Schubunabhängige Progression gemessen), CDW = Erhöhung von  $\geq 1,0$  EDSS Punkten bei Patienten mit einem Baseline EDSS von 0, oder Erhöhung von  $\geq 1,0$  EDSS Punkten bei Patienten mit einem Baseline EDSS von 1,0-5,0 oder Verschlechterung von  $\geq 0,5$  EDSS Punkten bei Patienten mit einem Baseline EDSS von 5,5; <sup>a</sup>Cox Regression. <sup>b</sup>Zeigt statistische Signifikanz (2-seitig) bei dem 0,04875 Level.

\*Hauser SL, et al. N Engl J Med. 2020;383:546-57;

# Neue S1P Modulatoren

Ozanimod (ZEPOSIA<sup>®</sup>)

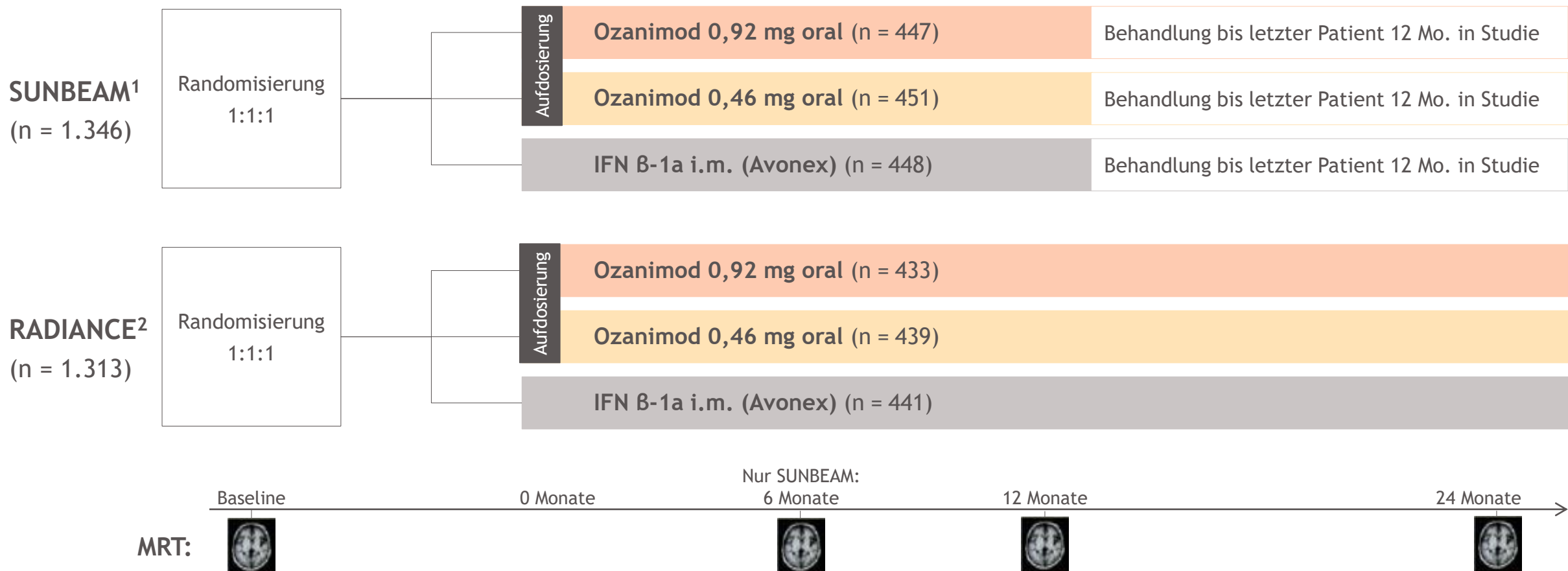
Ponesimod (Ponvory<sup>®</sup>)

Hochwirksame orale Therapieoptionen für den frühzeitigen  
Einsatz bei aktiver RRMS



# SUNBEAM und RADIANCE: Zwei große Phase-III-Studien mit 2.659 Patienten zum Vergleich von Ozanimod vs. IFN β-1a bei RRMS

Multizentrisch, randomisiert, doppelblind, doppel-dummy, aktive Kontrollgruppe



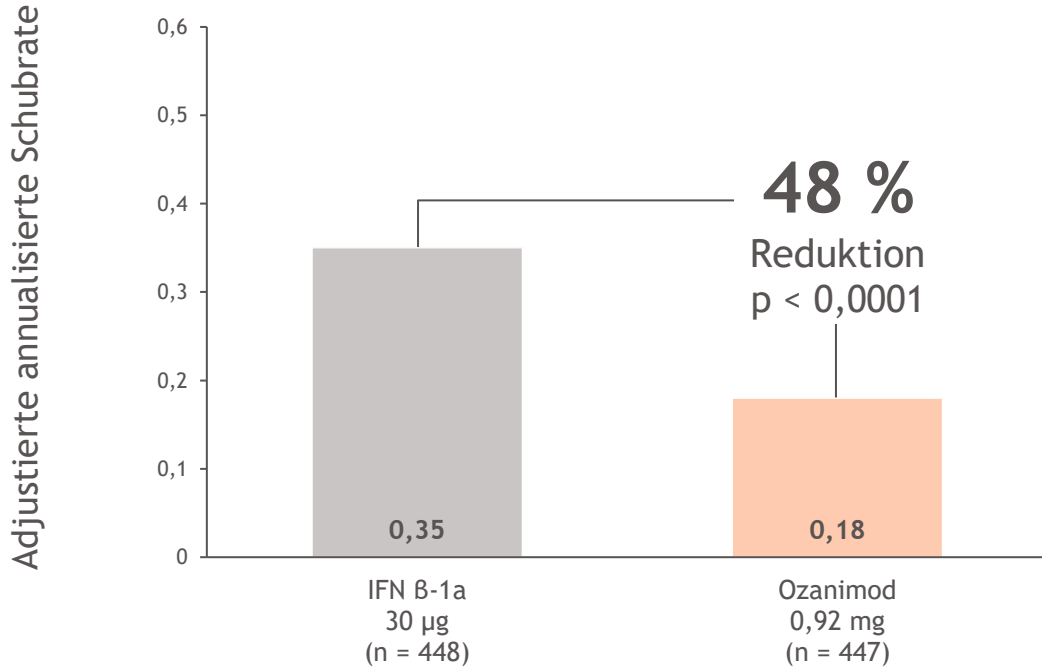
Expanded Disability Status Scale (EDSS): Alle 3 Monate und zum Zeitpunkt eines Schubs. Alle MRT-Analysen wurden von einer verblindeten zentralen Bildgebungseinheit durchgeführt. IFN = Interferon; MRT = Magnetresonanztomografie; RRMS = schubförmig remittierende Multiple Sklerose; i.m. = intramuskulär.

1) Comi et al. Lancet Neurol. 2019;18(11):1009-20. 2) Cohen et al. Lancet Neurol. 2019;18(11):1021-33.

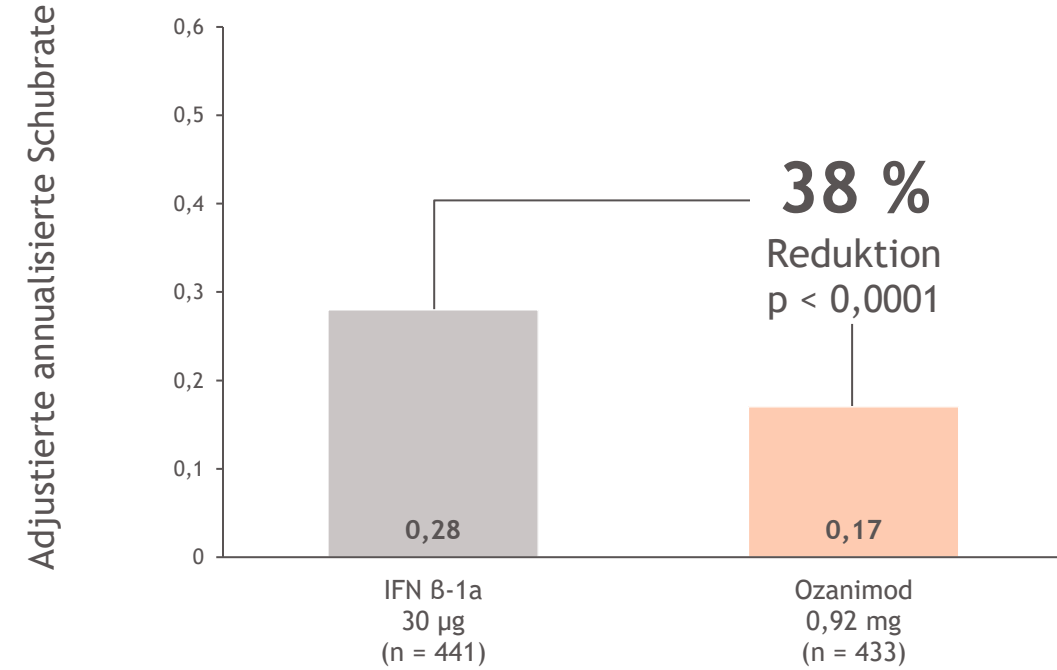
# Ozanimod reduzierte signifikant die annualisierte Schubrate<sup>1-4</sup>



## SUNBEAM ( $\geq 1$ Jahr)



## RADIANCE (2 Jahre)



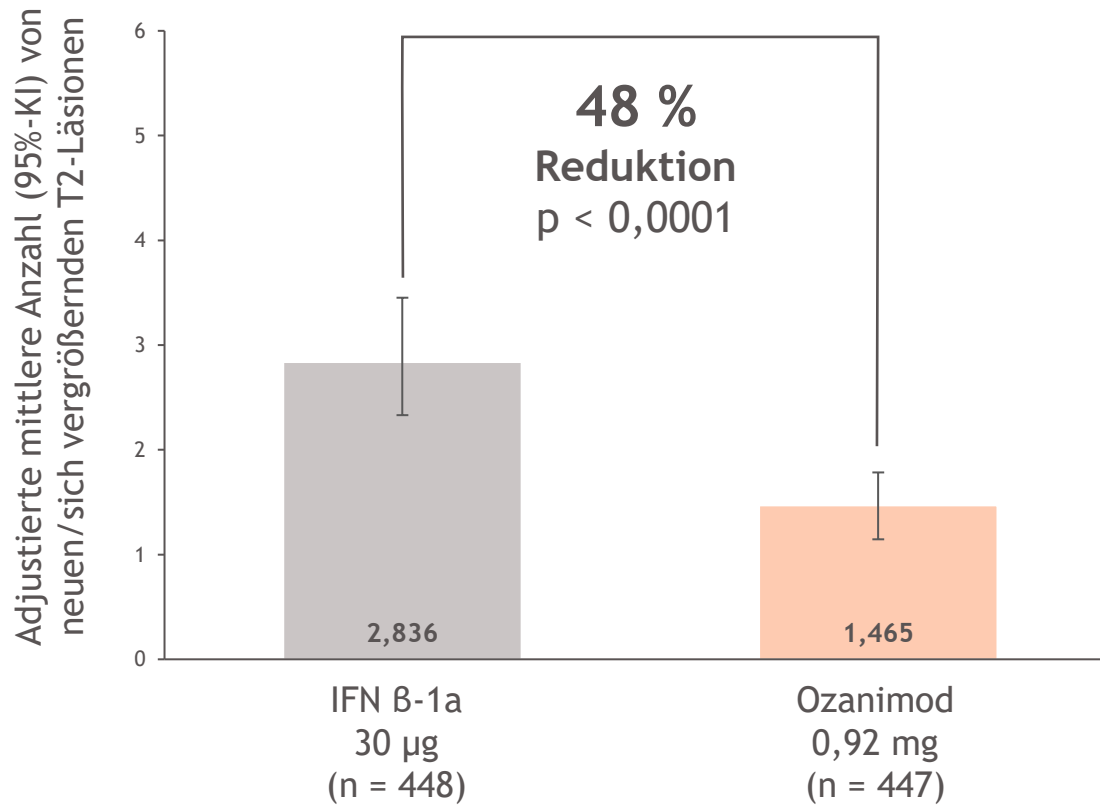
1) Comi G et al. Lancet Neurol. 2019;18(11):1009-1020. 2) Cohen JA et al. Lancet Neurol. 2019;18(11):1021-1033. 3) Comi G et al. AAN 2018 Annual Meeting, Los Angeles, USA; Poster 396.

4) Cohen JA et al. AAN 2018 Annual Meeting, Los Angeles, USA; Poster 410.

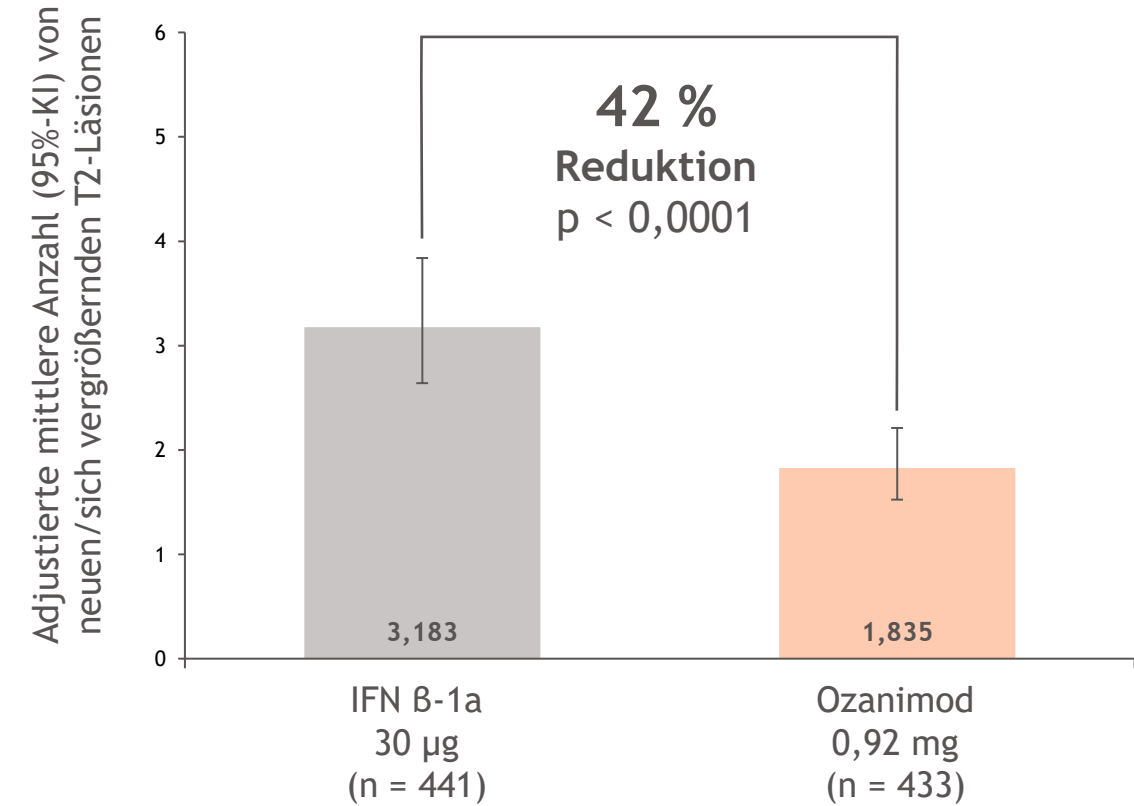
# Signifikante Reduktion von neuen oder sich vergrößernden T2-Läsionen unter Ozanimod



## SUNBEAM (1 Jahr)<sup>1</sup>



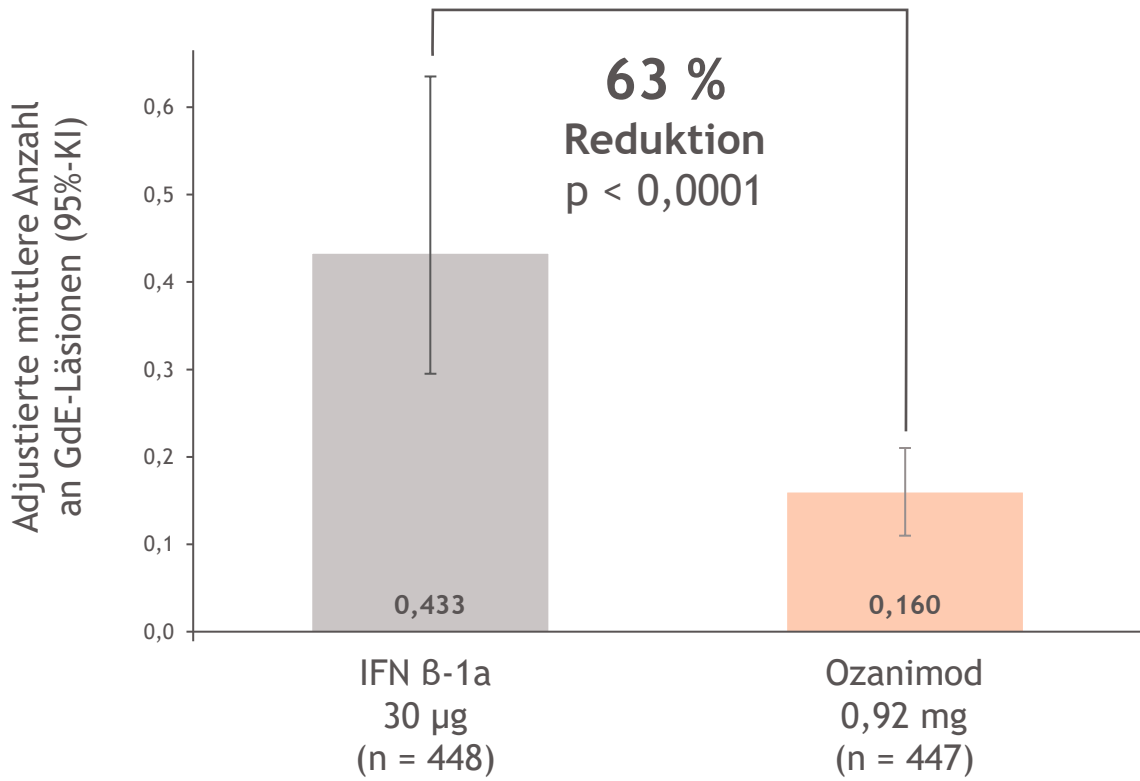
## RADIANCE (2 Jahre)<sup>2</sup>



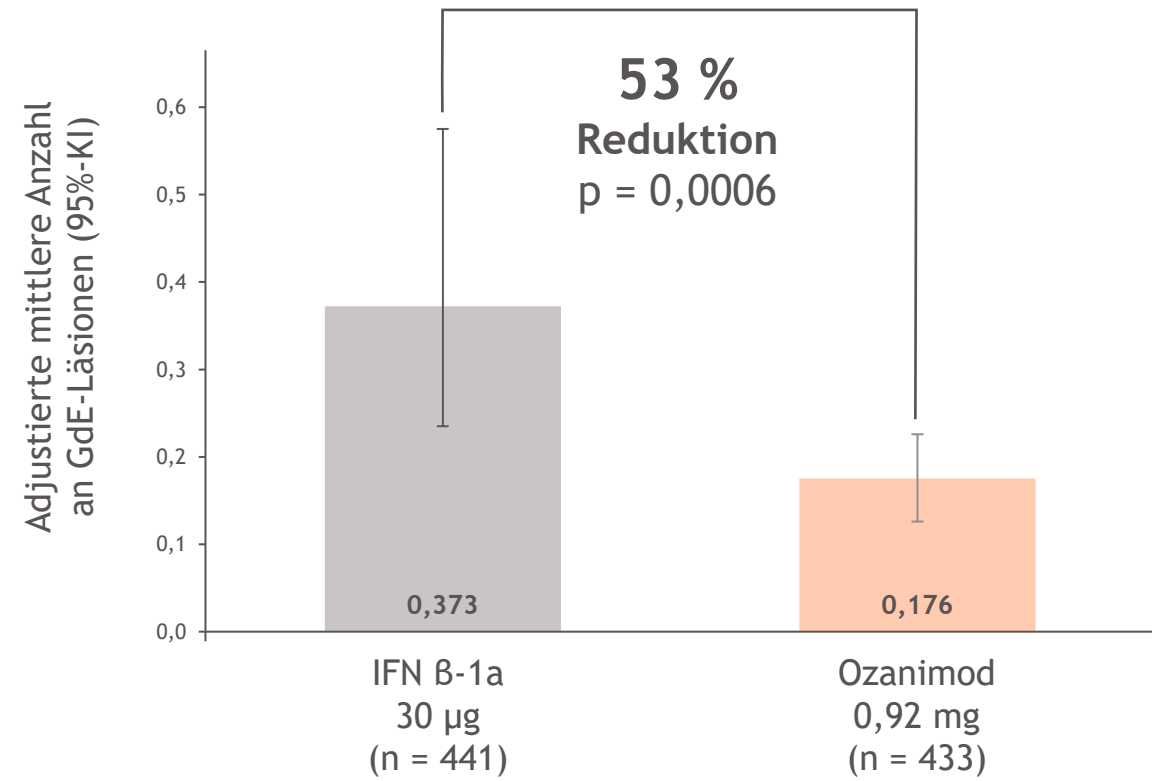
# Signifikante Reduktion von GdE-Läsionen unter Ozanimod



## SUNBEAM (1 Jahr)<sup>1</sup>



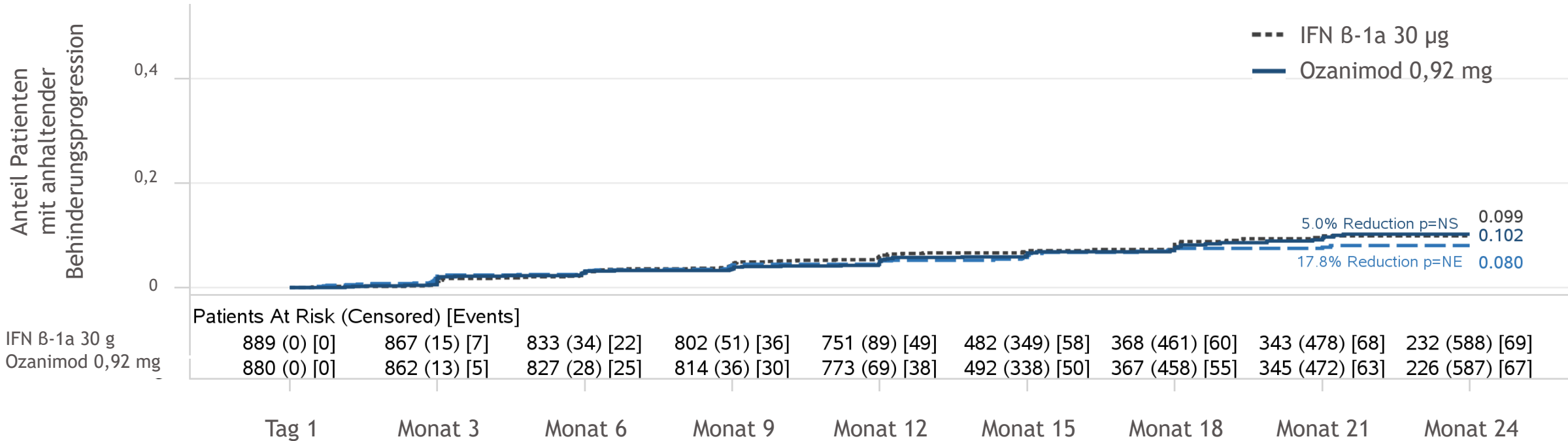
## RADIANCE (2 Jahre)<sup>2</sup>



# Geringe Rate an Behinderungsprogression unter Ozanimod<sup>1</sup>



Wahrscheinlichkeit einer über 12 Wochen anhaltenden Behinderungsprogression<sup>2</sup>



Der **Anteil Patienten** mit einer dauerhaften **Behinderungsprogression nahm** im Laufe der Behandlung **nur langsam zu** und lag nach 24 Monaten zwischen 8,0 und 10,2 %.

EDSS = Expanded Disability Status Scale; IFN = Interferon; NS = nicht signifikant; NE = nicht evaluierbar aufgrund des hierarchischen statistischen Analyseverfahrens.

1) Cohen et al. ECTRIMS 2017, Oral Presentation # 280. 2) Zeit bis zur über 3 Monate bestätigten Behinderungsprogression wurde analysiert unter Verwendung der Cox-Regression, angepasst an die Region, das Ausgangsalter und den Ausgangs-EDSS-Score. Geschätzte Anteile basieren auf Kaplan-Meier-Schätzungen. Die Patienten in SUNBEAM verblieben so lange auf Therapie, bis der letzte randomisierte Patient 12 Monate abgeschlossen hatte; durchschnittliche Behandlungsdauer 13,6 Monate.

# Ozanimod / Ponesimod: Anwendung Kurzübersicht



Zur Anwendung bei erwachsenen Patienten mit  
**schubförmig remittierender Multipler Sklerose (RRMS) mit aktiver Erkrankung,**  
definiert durch klinische oder bildgebende Befunde

---

Empfohlene Dosis:  
0,92 mg Ozanimod<sup>a</sup>  
1 x täglich  
(oral, Hartkapsel)

---

Keine Prä- oder  
Begleitmedikation  
notwendig

---

Einnahme zu  
einer Mahlzeit oder  
unabhängig davon

---

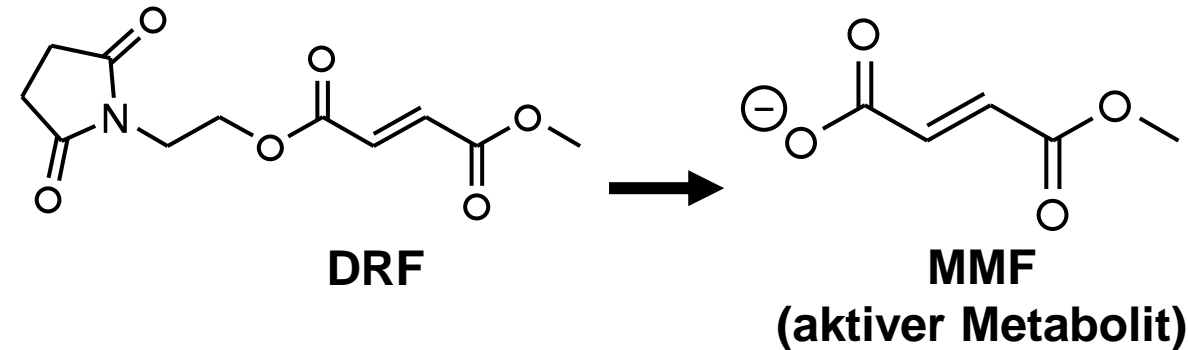
Die meisten Patienten  
benötigen keine  
kardiale Über-  
wachung bei  
der Erstdosis.

---

Keine Geno-typisierung  
  
Kürzere Halbwertzeit /  
schnellere Reversibilität

# In Kürze zu erwarten: Diroximelfumarat

- Diroximelfumarat (DRF), schnelle präsystemische Hydrolyse zu Monomethylfumarat

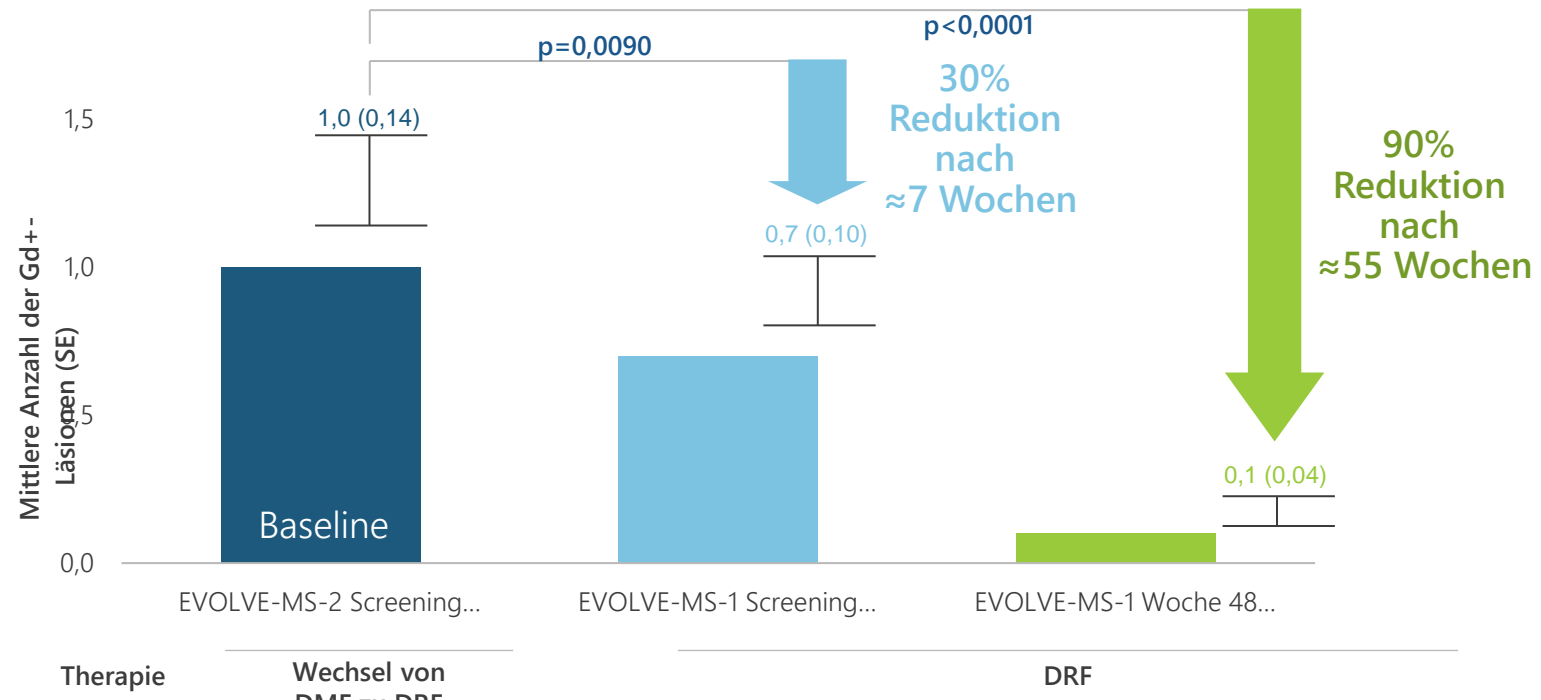


- Niedrigere Inzidenz von GI mit DRF als mit DMF (Therapieabbruch durch GI-Nebenwirkungen < 1% bei DRF-behandelten Patienten\*)

# Diroximel Fumarate and Dimethyl Fumarate Demonstrate Early Radiological Efficacy in Relapsing-Remitting Multiple Sclerosis

Singer BA, Shafer SJ, Arnold DL, et al.

Bei Patienten, die EVOLVE-MS-2 abgeschlossen hatten und anschließend an EVOLVE-MS-1 teilnahmen, war eine signifikante Reduktion der mittleren Anzahl der Gd+-Läsionen zu beobachten



**96% der Patienten waren frei von Gd+-Läsionen nach  $\approx 1$  Jahr DRF-Therapie**

**Der Anteil der Patienten ohne Gd+-Läsionen stieg** von 70% beim Screening für EVOLVE-MS-2 auf 96% nach  $\approx 55$  Wochen DRF-Therapie

## 314 Patienten

Bis 7. Februar 2020 hatten 314 Patienten EVOLVE-MS-2 abgeschlossen und wurden in EVOLVE-MS-1 aufgenommen; die Anzahl der Gd+-Läsionen wurde beim Screening für EVOLVE-MS-2 und EVOLVE-MS-1 sowie in Woche 48 von EVOLVE-MS-1 untersucht

**34,4%**  
der Patienten der Rollover-Population schlossen die Studie ab

**53,8%**  
sind noch in der Studie

**11,8%**  
brachen die Studie ab<sup>a</sup>

<sup>a</sup> Reasons for discontinuation from the study included AEs, n = 13; withdrawal by patient, n = 11; lost to follow-up, n = 3; noncompliance with study drug, n = 3; physician decision, n = 3; lack of efficacy, n = 2; pregnancy, n = 1; other, n = 1

# Schlussfolgerungen



Die Zwischenauswertung der noch laufenden Studie EVOLVE-MS-1 zeigt, dass die jährliche prozentuale Veränderung des Hirnvolumens in dieser Subgruppe von Patienten mit DRF-Therapie (n=447) –0,38 (0,60) in Jahr 1 und –0,35 (0,56) in Jahr 2 betrug; dieses ähnelt der Rate bei gesunden Erwachsenen und ist konsistent mit den Beobachtung aus den DMF Studien.



- Etwa **89,3%** der Patienten mit DRF-Therapie blieben über 2 Jahre frei von bestätigter Behinderungsprogression
- In dieser Subgruppe **wurden keine neuen oder unerwarteten Sicherheitsbefunde beobachtet**
- Die Rate der gastrointestinalen Nebenwirkungen betrug 36,0%, und die Rate der gastrointestinalen Nebenwirkungen, die zum Therapieabbruch führten, betrug 0,2%

**In der Pipeline:**

**BTK Inhibitoren:**

**EVOBRUTINIB (Merck)**

**Tolebrutinib (Sanofi/Genzyme)**





# Bruton's tyrosine kinase (BTK) is a key enzyme for development and function within lymphoid and myeloid cells in the periphery and CNS<sup>1,2</sup>

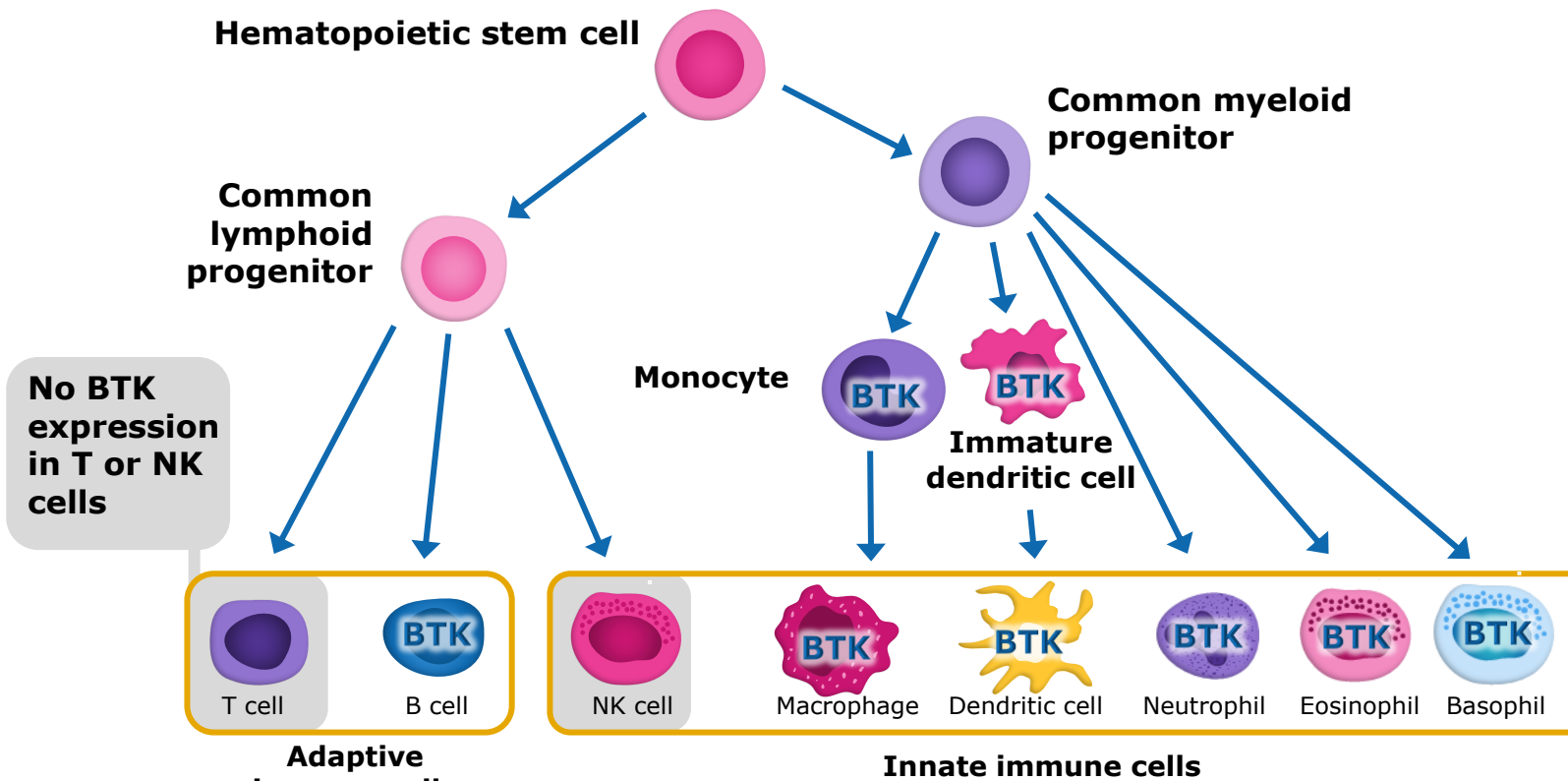


Figure adapted from Chaplin DD. Allergy Clin Immunol 2010;125(Suppl. 2):S3-23

BTK, Bruton's tyrosine kinase; CNS, central nervous system; NK, natural killer; TEC, protein tyrosine kinase gene

1. Hendriks RW. Nat Chem Biol 2011;7:4-5; 2. López-Herrera G et al. J Leukoc Biol 2014;95:243-50; 3. Crofford LJ et al. Expert Rev Clin Immunol 2016;12:763-73; 4. Alankus YB et al. ECTRIMS 2018 [P557]; 5. Svensson L et al. Eur J Immunol 2002;32:1939-46; 6. Mangla A et al. Blood 2004;104:1191-7; 7. Martin E et al. Brain Plasticity 2020;5:123-33

The **BTK protein** is a TEC family kinase that is a key regulator of adaptive and innate immune signaling<sup>1-4</sup>

**In mouse models of MS,** BTK knockout is associated with improved outcomes and reduced disease severity<sup>5,6</sup>

**BTK inhibition may target multiple autoimmune responses in MS**

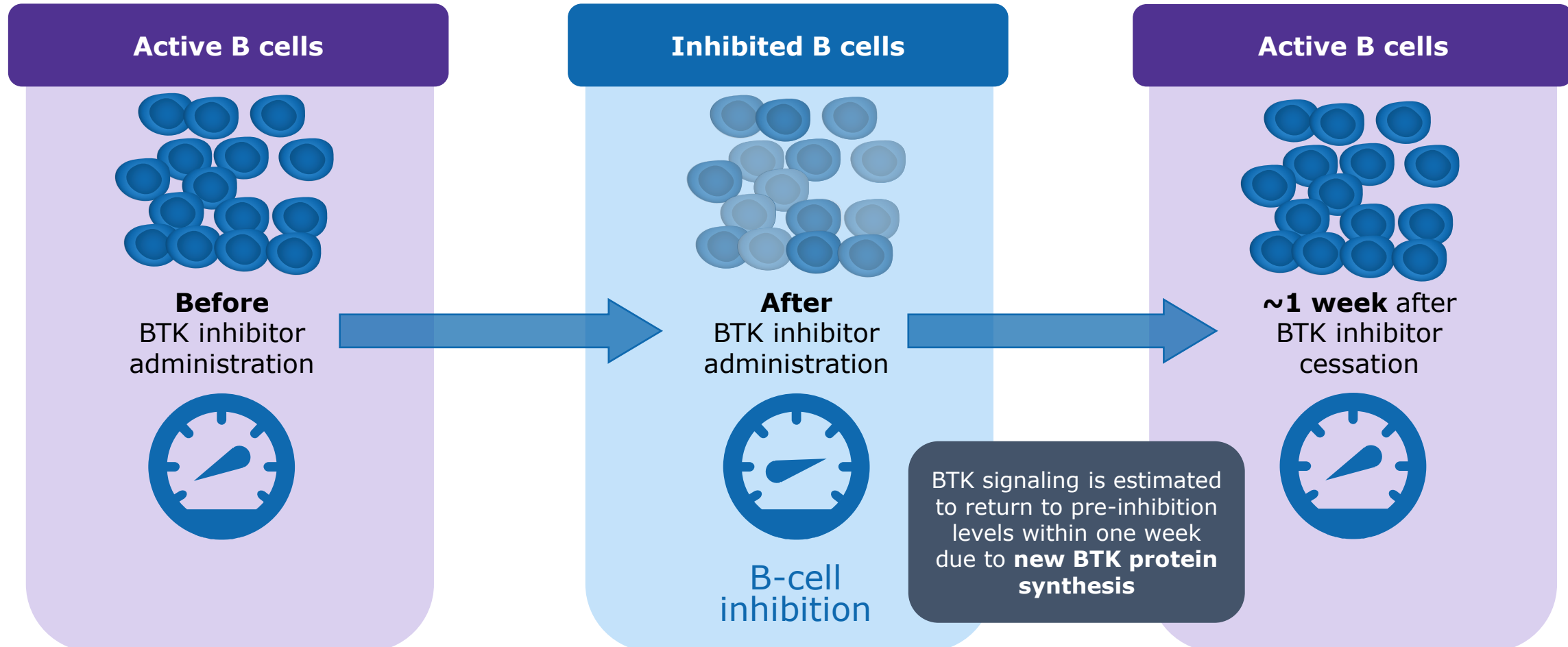


In addition to expression in cells of the immune system, BTK is also found in a subset of astrocytes<sup>7</sup>





# BTK signaling is estimated to return to pre-inhibition levels within one week<sup>1,2</sup>



Simplified graphic for illustrative purposes

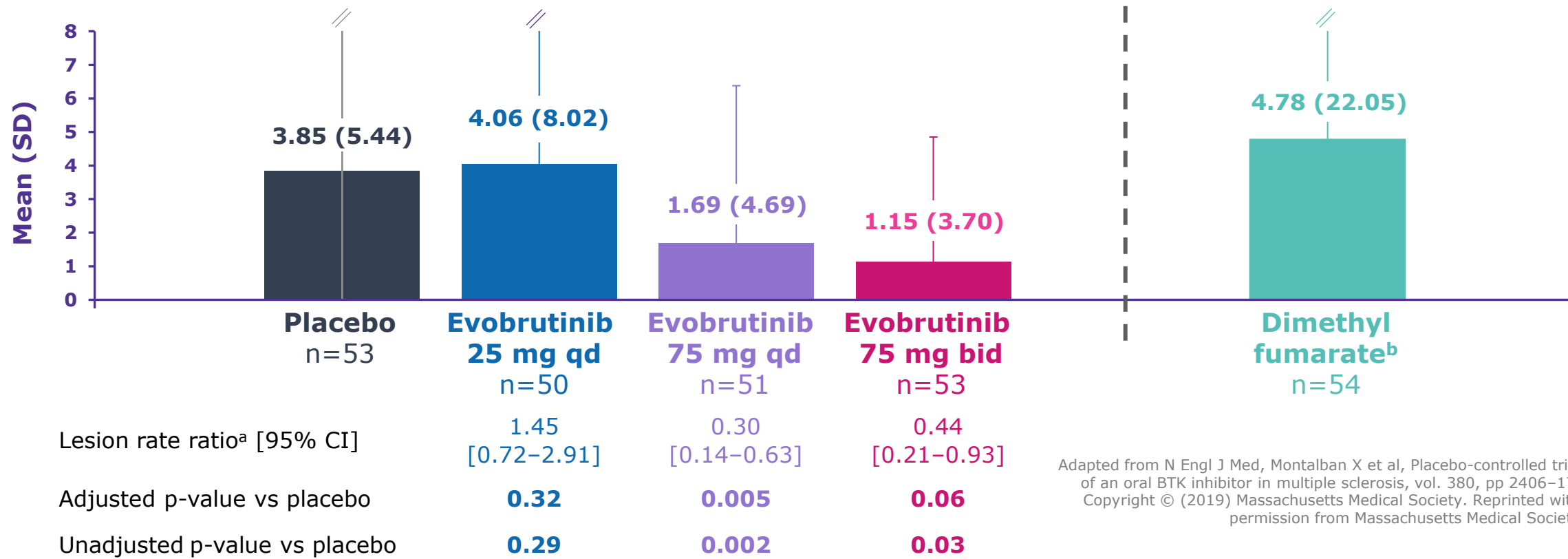
BTK, Bruton's tyrosine kinase

1. Evans EK et al. J Pharmacol Exp Ther 2013;346:219–28; 2. Haselmayer P et al. J Immunol 2019;202:2888–906





## Phase II study: Primary endpoint: total number of T1 Gd+ lesions at Weeks 12–24 (mITT)<sup>1,2</sup>



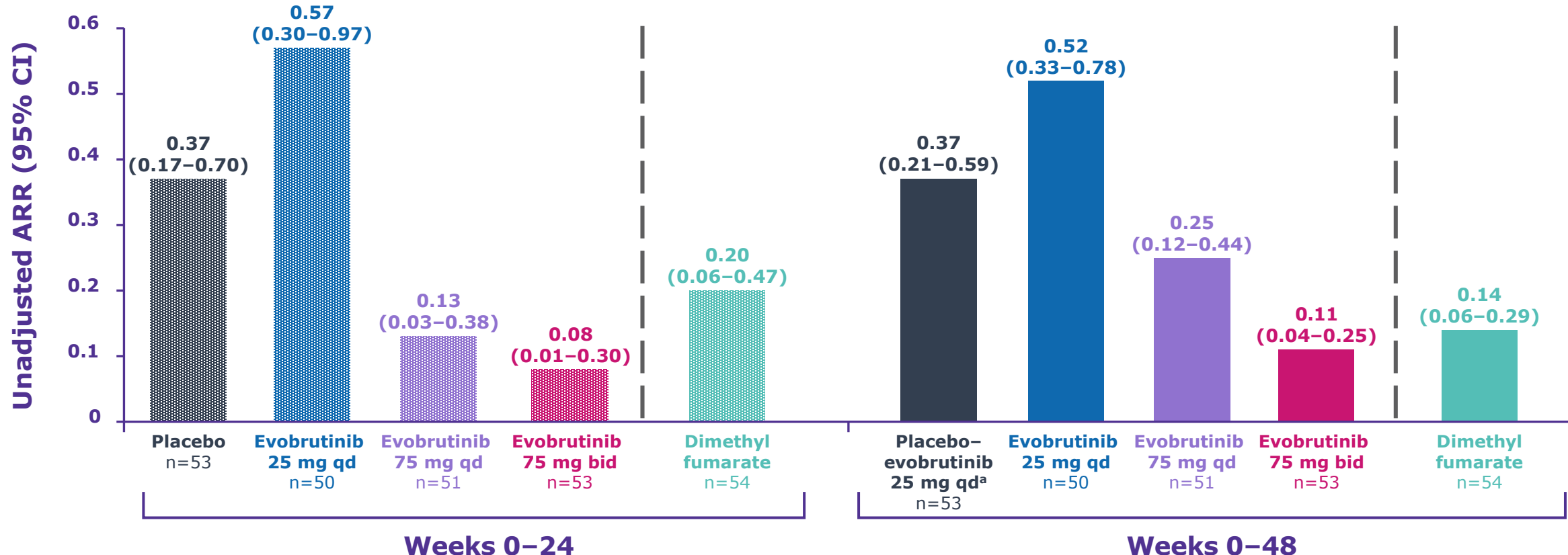
**By Week 12, a reduction in the mean number of T1 Gd+ lesions was seen in the evobrutinib 75 mg bid group compared with the placebo group<sup>2</sup>**

<sup>a</sup>Based on a negative binomial model for total lesion count (summed over available scans through Week 24) that adjusts for baseline lesion activity. Scans collected within 3 weeks of high-dose corticosteroid use are considered missing. Patients missing all post-baseline scans have total lesion count imputed. p-values are adjusted/unadjusted for multiplicity;  
<sup>b</sup>One patient in the dimethyl fumarate group had 46 lesions at baseline and a total of 160 lesions over 3 post-baseline scans and was considered a T1 Gd+ outlier  
 bid, twice daily; CI, confidence interval; Gd+, gadolinium-enhancing; mITT, modified intention-to-treat population; qd, once daily; SD, standard deviation  
 1. Montalban X et al. N Engl J Med 2019;380:2406–17; 2. Montalban X et al. AAN 2019 [S5.6-004]





## Phase II study: ARR at Week 24 and Week 48 (mITT)



Adapted from N Engl J Med, Montalban X et al, Placebo-controlled trial of an oral BTK inhibitor in multiple sclerosis, vol. 380, pp 2406-17.  
Copyright © (2019) Massachusetts Medical Society. Reprinted with permission from Massachusetts Medical Society

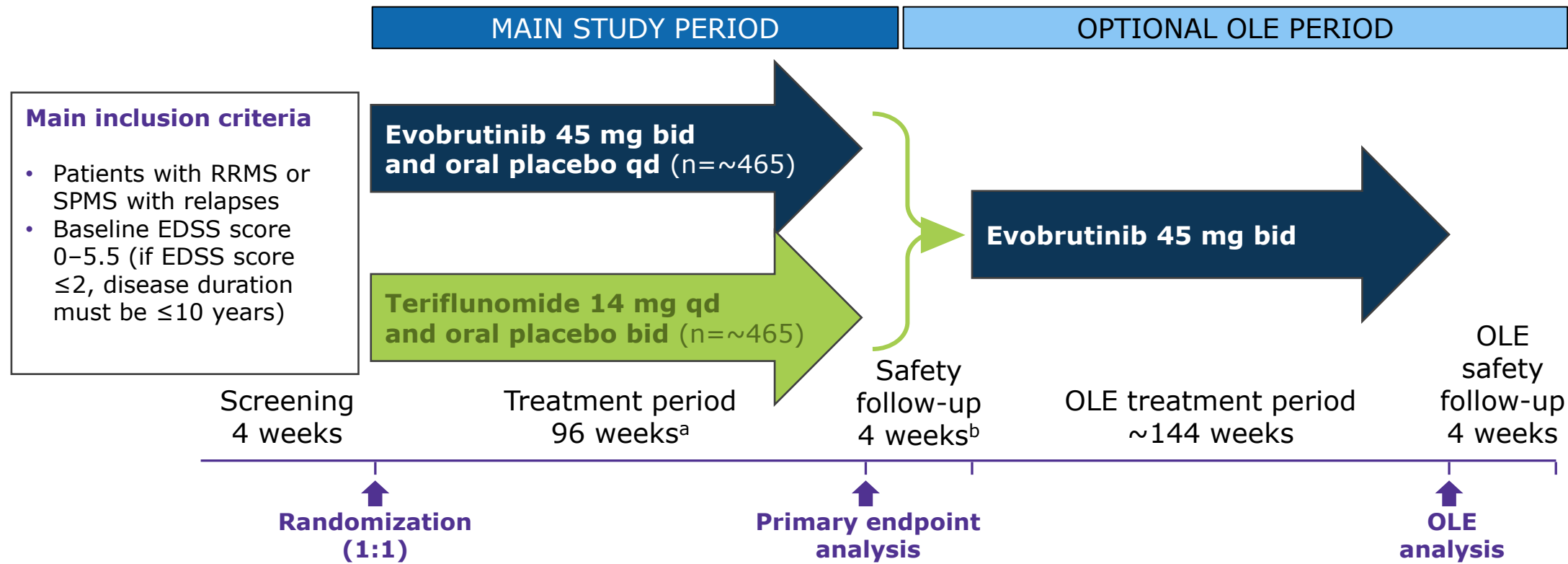
<sup>a</sup>Patients switched from placebo to evobrutinib 25 mg qd for the second 24-week treatment period  
ARR, annualized relapse rate; bid, twice daily; CI, confidence interval; mITT, modified intention-to-treat population; qd, once daily  
Montalban X et al. N Engl J Med 2019;380:2406-17



# EVOLUTION RMS Phase III studies trial design: NCT04338022 and NCT04338061<sup>1-4</sup>



Two randomized, parallel-group, double-blind, active-controlled Phase III studies of oral evobrutinib bid vs oral teriflunomide qd in patients with RMS, with the objective of evaluating efficacy and safety



<sup>a</sup>Participants experiencing initial progression of disability between Weeks 72 and 96 will continue participating in the main study for up to 12 additional weeks. The continuation period will increase the duration of participation to a maximum of 108 weeks; <sup>b</sup>For participants who do not enter the OLE period, the follow-up/discontinuation visit will be performed 4 weeks after the last study interventions administration. For participants entering the OLE, there will be no 4-week follow-up period between the main study and the OLE  
bid, twice daily; EDSS, Expanded Disability Status Scale; OLE, open-label extension; RMS, relapsing MS; RRMS, relapsing-remitting MS; qd, once daily; SPMS, secondary progressive MS  
1. US National Library of Medicine. <https://clinicaltrials.gov/ct2/show/NCT04338022> [Accessed April 30, 2020]; 2. US National Library of Medicine. <https://clinicaltrials.gov/ct2/show/NCT04338061> [Accessed April 30, 2020]; 3. Montalban X et al. AAN 2020 [P9.008]; 4. Data on File



A dramatic night scene of a wildfire. In the foreground, a firefighter in full gear uses a hose to spray water onto a grassy area. The fire, with intense orange and red flames, is visible in the background behind a fence. Several other firefighters are standing near the fence line. A fire truck with "WOOD-RIDGE" and "ENGINE 1" visible on its side is on the right, with its lights illuminated. The sky is dark, and the fire's glow reflects off the trees and the ground.

Vielen Dank für Ihre Aufmerksamkeit

Kontakt: [phil.albrecht@gmail.com](mailto:phil.albrecht@gmail.com)